

MENGA

CONJUNTO
ARQUEOLÓGICO
DÓLMENES DE
ANTEQUERA

AÑO 2015
ISSN 2172-6175

06

REVISTA DE PREHISTORIA DE ANDALUCÍA · JOURNAL OF ANDALUSIAN PREHISTORY

MENGA 06

REVISTA DE PREHISTORIA DE ANDALUCÍA
JOURNAL OF ANDALUSIAN PREHISTORY

Publicación anual
Año 5 // Número 06 // 2015

JUNTA DE ANDALUCÍA. CONSEJERÍA DE CULTURA
Conjunto Arqueológico Dólmenes de Antequera

ISSN 2172-6175
Depósito Legal: SE 8812-2011
Distribución nacional e internacional: 250 ejemplares

Menga es una publicación anual del Conjunto Arqueológico Dólmenes de Antequera (Consejería de Cultura de la Junta de Andalucía). Su objetivo es la difusión internacional de trabajos de investigación científicos de calidad relativos a la Prehistoria de Andalucía.

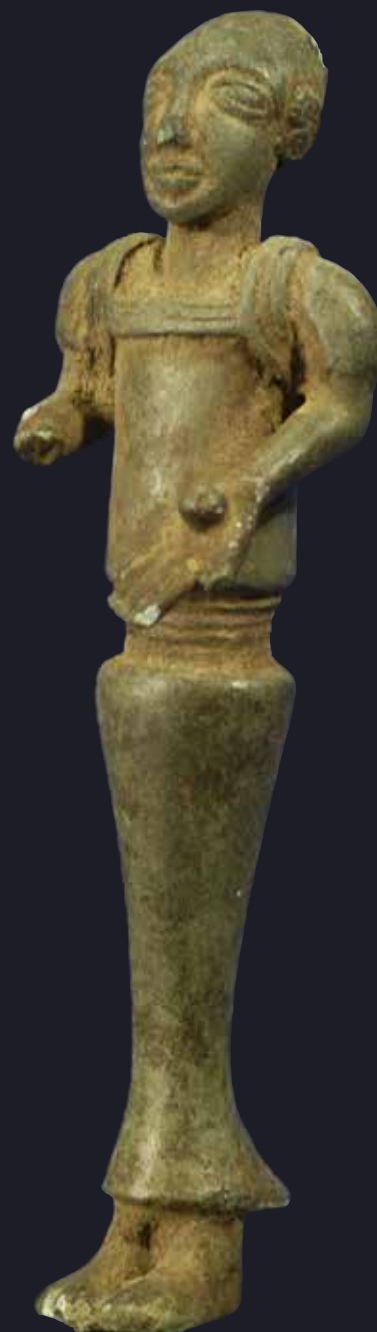
Menga se organiza en cuatro secciones: Dossier, Estudios, Crónica y Reseñas. La sección de Dossier aborda de forma monográfica un tema de investigación de actualidad. La segunda sección tiene un propósito más general y está integrada por trabajos de temática más heterogénea. La tercera sección denominada como Crónica recogerá las actuaciones realizadas por el Conjunto Arqueológico Dólmenes de Antequera en la anualidad anterior. La última sección incluye reseñas de libros y otros eventos (tales como exposiciones científicas, seminarios, congresos, etc.).

Menga está abierta a trabajos inéditos y no presentados para publicación en otras revistas. Todos los manuscritos originales recibidos serán sometidos a un proceso de evaluación externa y anónima por pares como paso previo a su aceptación para publicación. Excepcionalmente, el Consejo Editorial podrá aceptar la publicación de traducciones al castellano y al inglés de trabajos ya publicados por causa de su interés y/o por la dificultad de acceso a sus contenidos.

Menga is a yearly journal published by the Dolmens of Antequera Archaeological Site (the Andalusian Regional Government Ministry of Culture). Its aim is the international dissemination of quality scientific research into Andalusian Prehistory.

Menga is organised into four sections: Dossier, Studies, Chronicle and Reviews. The Dossier section is monographic in nature and deals with current research topics. The Studies section has a more general scope and includes papers of a more heterogeneous nature. The Chronicle section presents the activities undertaken by the Dolmens of Antequera Archaeological Site in the previous year. The last section includes reviews of books and events such as scientific exhibitions, conferences, workshops, etc.

Menga is open to original and unpublished papers that have not been submitted for publication to other journals. All original manuscripts will be submitted to an external and anonymous peer-review process before being accepted for publication. In exceptional cases, the editorial board will consider the publication of Spanish and English translations of already published papers on the basis of their interest and/or the difficulty of access to their content.



Exvoto ibérico. Figurilla femenina realizando un rito de paso. Bronce.
Instituto Gómez-Moreno de la Fundación Rodríguez-Acosta (Granada).
Fotografía: Carmen Rueda Galán.

MENGA 06

REVISTA DE PREHISTORIA DE ANDALUCÍA
JOURNAL OF ANDALUSIAN PREHISTORY

Publicación anual
Año 5 // Número 06 // 2015



ÍNDICE

07 EDITORIAL

14 DOSSIER: FEMINISMO, MUJERES Y ARQUEOLOGÍA

Coordinado por Margarita Sánchez Romero y Eva Alarcón García

17 Representaciones figurativas, mujeres y arqueología

Trinidad Escoriza-Mateu, Andrea González-Ramírez y Pedro V. Castro-Martínez

33 Arqueología feminista, de las mujeres y del género en la Prehistoria de Andalucía

Eva Alarcón García y Margarita Sánchez Romero

61 La Arqueología ibérica y los estudios de género en Andalucía: avances y desafíos

Carmen Rísquez Cuenca

92 ESTUDIOS

95 Datación radiocarbónica y arqueología: la experiencia del Centro Nacional de Aceleradores (Sevilla)

Francisco Javier Santos Arévalo, Lidia Agulló García, Aurora Diéguez Ferrari e Isabel Gómez Martínez

113 Paleoecología y cultura material en el complejo tumular prehistórico del Castillejo del Bonete (Terrinches, Ciudad Real)

Luis Benítez de Lugo Enrich, Norberto Palomares Zumajo, Honorio Javier Álvarez García, Rosa Barroso Bermejo, María Benito Sánchez, Hugues-Alexandre Blain, Primitiva Bueno Ramírez, Rodrigo de Balbín Behrmann, Sergio Fernández Martín, José Antonio López Sáez, María Ángeles Galindo-Pellicena, M^a Antonia Garrido Martínez, César Laplana Conesa, Enrique Mata Trujillo, Gabriel Menchén Herreros, Ignacio Montero Ruiz, Jaime Moraleda Sierra, Antonio Morgado Rodríguez, Carlos Odriozola Lloret, Estíbaliz Polo Martín, Mónica Ruiz-Alonso, Paloma Sevilla García, Thomas X. Schuhmacher y Domingo Carlos Salazar-García

143 Hoyos y tumbas en la Edad del Bronce peninsular: la cuenca del Tajo y el sureste

Alberto Pérez Villa



168 CRÓNICA

- 171 **Memoria del Conjunto Arqueológico Dólmenes de Antequera 2014**
María del Carmen Andújar Gallego
- 191 **Sobre la orientación de la Cueva del Marimacho (Antequera, Málaga)**
César Esteban López
- 201 **Nuevas aportaciones al estudio métrico y geométrico del dolmen de Viera (Antequera, Andalucía)**
José Antonio Benavides López, Francisco Javier Esquivel Sánchez y José Antonio Esquivel Guerrero
- 211 **Evidence of Neolithic Activity at La Peña de los Enamorados (Antequera, Málaga, Spain): Intensive Surface Survey, Geophysics and Geoarchaeology at the Site of Piedras Blancas I**
Leonardo García Sanjuán, David W. Wheatley, Marta Díaz-Guardamino Uribe, Coronada Mora Molina, Olga Sánchez Liranzo y Kris Strutt
- 253 **Evidencias de asentamiento y prácticas funerarias en los dólmenes de Menga y Viera en la Antigüedad: la intervención de 1988**
Gonzalo Aranda Jiménez, Leonardo García Sanjuán, Coronada Mora Molina, María del Carmen Moreno Escobar, José Antonio Riquelme Cantal, Sonia Robles Carrasco y Jacobo Vázquez Paz

290 RECENSIONES

- 290 **Luis Grau Lobo**
Manuel Ramos Lizana: Guía del Museo de Almería
- 293 **Alfredo Mederos Martín**
Gonzalo Aranda Jiménez, Sandra Montón-Subías y Margarita Sánchez Romero: The Archaeology of Bronze Age Iberia: Argaric Societies
- 296 **José Suárez Padilla**
María Oliva Rodríguez Ariza: La Necrópolis Ibérica de Tútugi (2000-2012)

299 NOTICIAS

MENGA 06

REVISTA DE PREHISTORIA DE ANDALUCÍA
JOURNAL OF ANDALUSIAN PREHISTORY

Publicación anual
Año 5 // Número 06 // 2015

DIRECTOR/DIRECTOR

Bartolomé Ruiz González (Conjunto Arqueológico Dólmenes de Antequera)

EDITORES/EDITORS

Gonzalo Aranda Jiménez (Universidad de Granada)

Eduardo García Alfonso (Junta de Andalucía. Delegación Territorial de Cultura, Turismo y Deporte, Málaga)

COORDINADOR DE RECENSIONES/REVIEWS COORDINATOR

José Enrique Márquez Romero (Universidad de Málaga)

SECRETARIA TÉCNICA/TECHNICAL SECRETARY

María del Carmen Andújar Gallego (Conjunto Arqueológico Dólmenes de Antequera)

Victoria Eugenia Pérez Nebreda (Conjunto Arqueológico Dólmenes de Antequera)

CONSEJO EDITORIAL/EDITORIAL BOARD

Gonzalo Aranda Jiménez (Universidad de Granada)

María Dolores Camalich Massieu (Universidad de La Laguna)

Eduardo García Alfonso (Junta de Andalucía. Delegación Territorial de Cultura, Turismo y Deporte, Málaga)

Leonardo García Sanjuán (Universidad de Sevilla)

Francisca Hornos Mata (Museo de Jaén)

Víctor Jiménez Jaimez (Universidad de Southampton)

José Enrique Márquez Romero (Universidad de Málaga)

Dimas Martín Socas (Universidad de La Laguna)

Ana Dolores Navarro Ortega (Museo Arqueológico de Sevilla)

Bartolomé Ruiz González (Conjunto Arqueológico Dólmenes de Antequera)

Arturo Ruiz Rodríguez (Universidad de Jaén)

Carlos Odriozola Lloret (Universidad de Sevilla)

María Oliva Rodríguez Ariza (Universidad de Jaén)

Margarita Sánchez Romero (Universidad de Granada)

CONSEJO ASESOR/ADVISORY BOARD

Xavier Aquilué Abadías (Centro Iberia Graeca, L'Escala, Girona)

Ana Margarida Arruda (Universidade de Lisboa)

Rodrigo de Balbín Behrmann (Universidad de Alcalá de Henares)

Juan Antonio Barceló Álvarez (Universitat Autònoma de Barcelona)

María Belén Deamos (Universidad de Sevilla)

Juan Pedro Bellón Ruiz (Universidad de Jaén)

Joan Bernabeu Aubán (Universitat de València)

Massimo Botto (Consiglio Nazionale delle Ricerche, Roma)

Primitiva Bueno Ramírez (Universidad de Alcalá de Henares)

Jane E. Buikstra (Arizona State University)

Teresa Chapa Brunet (Universidad Complutense de Madrid)

Robert Chapman (University of Reading)

Miguel Cortés Sánchez (Universidad de Sevilla)

Felipe Criado Boado (Consejo Superior de Investigaciones Científicas, Santiago de Compostela)

José Antonio Esquivel Guerrero (Universidad de Granada)

Silvia Fernández Cacho (Instituto Andaluz del Patrimonio Histórico)

Román Fernández-Baca Casares (Instituto Andaluz del Patrimonio Histórico)

Alfredo González Ruibal (Consejo Superior de Investigaciones Científicas, Santiago de Compostela)

Almudena Hernando Gonzalo (Universidad Complutense de Madrid)

Isabel Izquierdo Peraile (Ministerio de Educación, Cultura y Deporte del Gobierno de España)

Sylvia Jiménez-Brobeil (Universidad de Granada)

Michael Kunst (Deutsches Archäologisches Institut, Madrid)

Katrina Lillios (University of Iowa)

José Luis López Castro (Universidad de Almería)

Martí Mas Cornellà (Universidad Nacional de Educación a Distancia)

Fernando Molina González (Universidad de Granada)

Ignacio Montero Ruiz (Consejo Superior de Investigaciones Científicas, Madrid)

Arturo Morales Muñoz (Universidad Autónoma de Madrid)

María Morente del Monte (Museo de Málaga)

Leonor Peña Chocarro (Escuela Española de Historia y Arqueología en Roma. CSIC)

Raquel Piqué Huerta (Universitat Autònoma de Barcelona)

José Ramos Muñoz (Universidad de Cádiz)

Charlotte Roberts (University of Durham)

Ignacio Rodríguez Temiño (Conjunto Arqueológico de Carmona)

Robert Sala Ramos (Universitat Rovira i Virgili)

Alberto Sánchez Vizcaíno (Universidad de Jaén)

Stephanie Thiebault (Centre Nationale de Recherche Scientifique, París)

Ignacio de la Torre Sáinz (Institute of Archaeology, University College London)

Juan Manuel Vicent García (Consejo Superior de Investigaciones Científicas, Madrid)

David Wheatley (University of Southampton)

Joao Zilhão (Universitat de Barcelona)

EDICIÓN/PUBLISHED BY

JUNTA DE ANDALUCÍA. Consejería de Cultura

PRODUCCIÓN/PRODUCTION

Agencia Andaluza de Instituciones Culturales

Gerencia de Instituciones Patrimoniales

Manuela Pliego Sánchez

Eva González Lezcano

DISEÑO/DESIGN

Carmen Jiménez del Rosal

MAQUETACIÓN/COMPOSITION

Francisco José Romero Romero (Agencia Andaluza de Instituciones Culturales)

IMPRESIÓN/PRINTING

PodiPrint

LUGAR DE EDICIÓN/PUBLISHED IN

Sevilla

FOTOGRAFÍAS/PHOTOGRAPHS

Portada / Front cover: Representación femenina de la Cueva de Ardales (Málaga) / Female representation in the Cave of Ardales (Málaga).

INSTITUCIONES COLABORADORAS/SUPPORTING ENTITIES

Instituto Universitario de Investigación en Arqueología Ibérica (Universidad de Jaén).

Grupo de Investigación: ATLAS (HUM-694) (Universidad de Sevilla).

Grupo de Investigación: GEA. Cultura material e identidad social en la Prehistoria Reciente en el sur de la Península Ibérica (HUM-065) (Universidad de Granada).

Grupo de Investigación: PERUMA. Prehistoric Enclosures Research (Universidad de Málaga).

Grupo de Investigación de las sociedades de la Prehistoria Reciente de Andalucía y el Algarve (GISPRAYA) (Universidad de La Laguna).

ISSN 2172-6175

Depósito legal: SE 8812-2011



Salvo que se indique lo contrario, esta obra está bajo una licencia Reconocimiento-NoComercial-SinObraDerivada 3.0 Unported Creative Commons. Usted es libre de copiar, distribuir y comunicar públicamente la obra bajo las condiciones siguientes:

- Reconocimiento. Debe reconocer los créditos de la obra de la manera especificada por el autor o el licenciadore.
- No comercial. No puede utilizar esta obra para fines comerciales.
- Sin obras derivadas. No se puede alterar, transformar o generar una obra derivada a partir de esta obra.

Al reutilizar o distribuir la obra, tiene que dejar bien claro los términos de la licencia de esta obra. Alguna de estas condiciones puede no aplicarse si se obtiene el permiso del titular de los derechos de autor. Los derechos derivados de usos legítimos u otras limitaciones reconocidas por ley no se ven afectados por lo anterior. La licencia completa está disponible en:

<http://creativecommons.org/licenses/by-nc-nd/3.0/>

Unless stated otherwise, this work is licensed under an Attribution-NonCommercial-NoDerivs 3.0 Unported Creative Commons. You are free to share, copy, distribute and transmit the work under the following conditions:

- Attribution. You must attribute the work in the manner specified by the author or licensor.
- Noncommercial. You may not use this work for commercial purposes.
- No Derivative Works. You may not alter, transform, or build upon this work.

For any reuse or distribution, you must make clear to others the licence terms of this work. Any of the above conditions can be waived if you get permission from the copyright holder. Where the work or any of its elements is in the public domain under applicable law, that status is in no way affected by the licence. The complete licence can be seen in the following web page: <http://creativecommons.org/licenses/by-nc-nd/3.0/>



Sepultura con cubierta de téglulas [Cata 7] documentada en las excavaciones realizadas en 1988 en el entorno del dolmen de Viera. Foto: Rafael Atencia Páez.

EVIDENCIAS DE ASENTAMIENTO Y PRÁCTICAS FUNERARIAS EN LOS DÓLMENES DE MENGA Y VIERA EN LA ANTIGÜEDAD. LA INTERVENCIÓN DE 1988

Gonzalo Aranda Jiménez¹, Leonardo García Sanjuán², Coronada Mora Molina², María del Carmen Moreno Escobar³, José Antonio Riquelme Cantal⁴, Sonia Robles Carrasco² y Jacobo Vázquez Paz⁵

Resumen:

La excavación arqueológica realizada en 1988 por el Área de Prehistoria de la Universidad de Málaga en el entorno del dolmen de Viera documentó importantes evidencias de poblamiento y prácticas funerarias de época antigua. En el marco del Proyecto General de Investigación "Sociedades, Territorios y Paisajes en la Prehistoria de las Tierras de Antequera (Málaga)" (2013-2018) se ha procedido al estudio sistemático del conjunto de materiales asociados a esta intervención. El análisis tecnológico y tipológico, principalmente de vasijas cerámicas y objetos metálicos, junto a la caracterización de los restos antropológicos y faunísticos y su datación radiocarbónica muestran una intensa actividad funeraria entre los siglos II-IV DNE y una fase principal de asentamiento en los siglos V-VII DNE. Especialmente, la actividad funeraria evidenciaría la continuidad del significado social, ideológico y religioso de Menga y Viera durante la Antigüedad.

Palabras clave: Dólmenes de Mega y Viera, Prácticas funerarias, dataciones radiocarbónicas, Bajo Imperio y Antigüedad Tardía.

EVIDENCE FOR SETTLEMENT AND BURIAL PRACTICES AT THE DOLMENS OF MENGA AND VIERA IN ANTIQUITY. THE 1988 EXCAVATION

Abstract:

The archaeological excavation carried out in 1988 by the University of Málaga's Area of Prehistory in the surrounding area of the Viera dolmen identified significant evidence of settlement and funerary practices in Antiquity. In the framework of the Research Project "Societies, Territories and Landscapes in the Prehistory of the Lands of Antequera (Málaga)" (2013-2018) a systematic study of the material culture found in this excavation has been carried out. The typological and technological studies of material, mainly pottery and metal objects, along with the bioarchaeological characterisation and radiocarbon dating of the faunal and human remains have revealed an intense funerary activity between the IInd and IVth centuries cal AD and a main settlement phase between the Vth and VIIth centuries cal AD. This burial activity suggests the continuity of the social, ideological and religious significance of Menga and Viera through the first half of the 1st millennium AD.

Keywords: Dolmens of Menga and Viera, Funerary Practices, Radiocarbon Dating, Roman Imperial Period, Late Antiquity.

¹ Departamento de Prehistoria y Arqueología de la Universidad de Granada [garanda@ugr.es]

² Departamento de Prehistoria y Arqueología de la Universidad de Sevilla [lgarcia@us.es]

³ Department of Archaeology, University of Southampton [M.Del-Carmen-Moreno-Escobar@soton.ac.uk]

⁴ Área de Prehistoria, Universidad de Córdoba [jriquelme@uco.es]

⁵ Grupo de Investigación *Religio Antiqua* (HUM-650), Universidad de Sevilla [jacobovazquez-paz@hotmail.com]

Recibido: 14/09/2015; Aceptado: 19/10/2015

1. INTRODUCCIÓN

1.A. PRECEDENTES Y CONTEXTO

Sin detrimento de algunos precedentes importantes (por ejemplo García y Bellido y Giménez Reyna, 1948; Luque Moraño, 1972; Rodríguez Oliva y Serrano Ramos, 1974), fue a partir de los años 1980 cuando los estudios sobre el poblamiento de Antequera y su entorno en la Antigüedad se intensificaron, gracias a la publicación de datos más sistemáticos (Loza Azuaga, 1983) y trabajos de síntesis como la Tesis Doctoral de Rafael Atencia Páez (1986) o el estudio de las vías de comunicación de Enrique Gozalbes Cravioto (1986). A partir de esa década se desarrollaron nuevas actividades arqueológicas destacando las excavaciones en la ciudad de Singilia Barba (yacimiento también conocido como El Castellón) (Atencia Páez, 1988; Serrano Ramos, 1983, 2001; Serrano Ramos *et al.*, 1992; etc.) y en varios otros establecimientos residenciales y *villae* como Huerta del Ciprés (Riñones Carranza, 1987a), Carnicería de los Moros (Arcos von Haartman y Álvarez Rubiera, 1987; Riñones Carranza, 1987b), El Batán (1995), Estación de Antequera (Romero Pérez, 1999; Melero García, 2001) y Caserío Silverio (Cisneros García, 2014) entre otros

(Romero Pérez *et al.*, 2014). De igual forma, se excavaron necrópolis tales como La Angostura (Cisneros Franco y Corrales Aguilar, 1994), Cortijo Quemado (Fernández Rodríguez, 2005), Las Maravillas (Romero Pérez, 1994; 1997), Pozoancho III (López Tito y Salado Escaño, 2010), y la propia *villa* de Caserío Silverio (Ferrando de la Lama *et al.*, 2014) además de otras (Fernández Rodríguez y Romero Pérez, 2007).

Los datos obtenidos en los últimos tres decenios revelan la magnitud del poblamiento antiguo de la vega de Antequera (Figs. 1 y 2). Desde un punto de vista cuantitativo destaca la elevada densidad de la ocupación, reflejada en la gran cantidad de asentamientos, incluidas ciudades importantes como Singilia Barba o la propia Antikaria. La importancia de la ciudad de Antequera y su territorio inmediato vino derivada de la relevante actividad agraria y artesanal que conoció toda la región (Atencia Páez y Serrano Ramos, 1997; Romero Pérez, 1998) y de las posibilidades comerciales que le confirió su estratégica posición geográfica como encrucijada de rutas de comunicación Norte-Sur y Este-Oeste, claramente reflejada en la importancia de su entramado viario (Atencia Páez y Serrano Ramos, 1980; Gozalbes Cravioto, 1986; Melchor Gil, 1996).

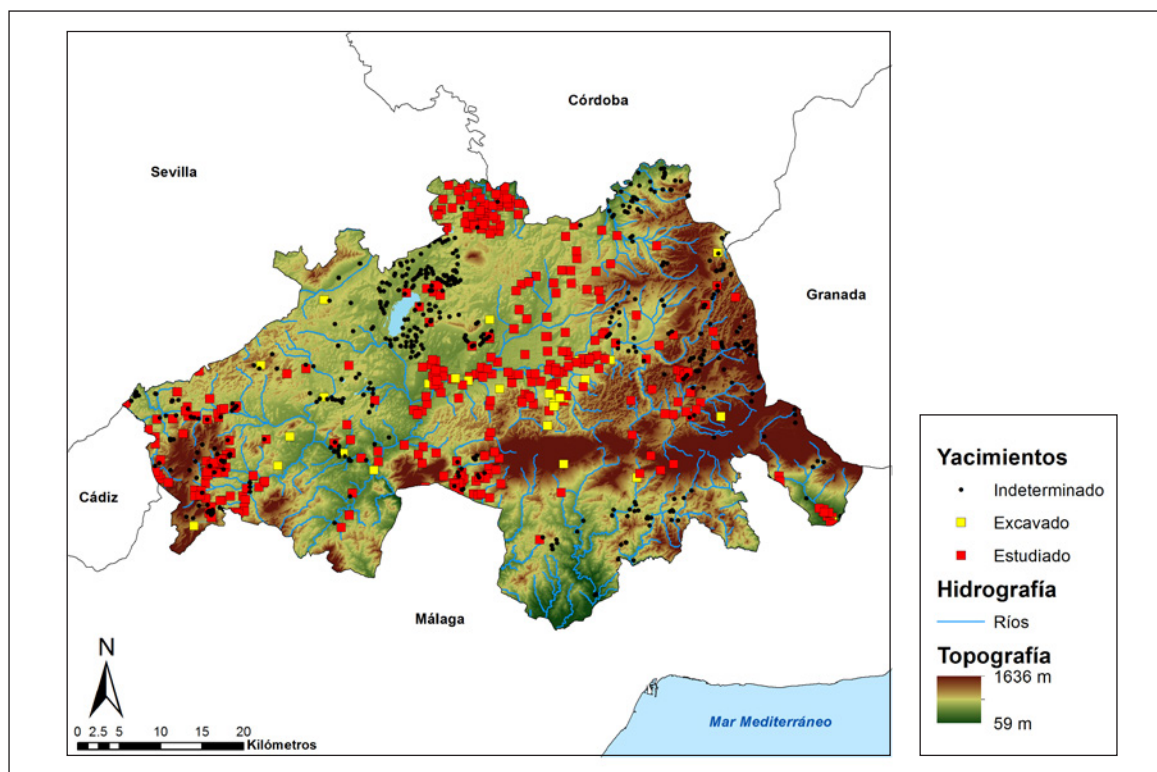


Fig. 1. Mapa de distribución de los yacimientos arqueológicos de la Antigüedad conocidos en Tierras de Antequera. Diseño: María del Carmen Moreno Escobar.

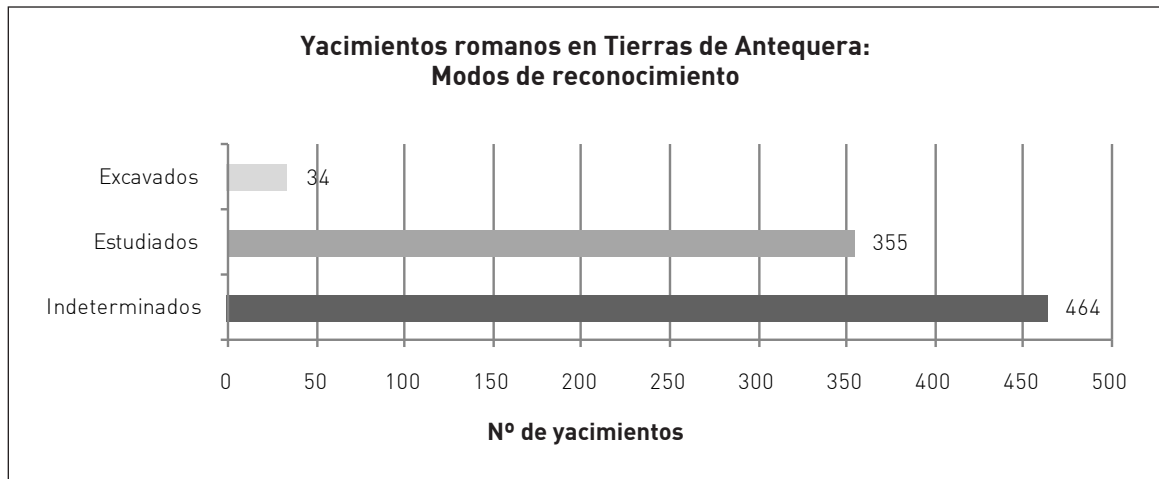


Fig. 2. Distribución cuantitativa general de los yacimientos de la Antigüedad conocidos en Tierras de Antequera según grado de documentación. Diseño: María del Carmen Moreno Escobar.

En 1988 la Universidad de Málaga (UMA) llevó a cabo en las inmediaciones de los dólmenes de Menga y Viera unas excavaciones, dirigidas por el Dr. Rafael Atencia Páez, que revelaron evidencias de ocupación de dicho espacio en la Antigüedad. Estas excavaciones formaban parte del Proyecto General de Investigación (PGI) titulado "Reconstrucción arquitectónica y paleoambiental en la necrópolis megalítica de Antequera" que se desarrolló entre 1985 y 1991 con aprobación y patrocinio de la Consejería de Cultura de la Junta de Andalucía. Aunque los responsables de dicho proyecto han dado a conocer algunas referencias puntuales a los resultados de esa intervención en publicaciones que tenían como objeto principal los monumentos megalíticos antequeranos (ver por ejemplo Ferrer Palma, 1997a: 143; 1997b: 356; Marqués Merelo *et al.*, 2004: 184; Ferrer Palma *et al.*, 2004: 207), dichos resultados no han sido nunca objeto de publicación sistemática. De acuerdo con la más prolija de las referencias publicadas, en la intervención de 1988, que supuso la apertura de 10 'catas' (seguimos la terminología empleada por los excavadores), se identificaron varias tumbas construidas mediante *tegulae* a doble vertiente en estrecha proximidad espacial con vestigios arquitectónicos que incluían varios muros y una estructura hidráulica revestida de *opus signinum*

(Ferrer Palma, 1997a: 136). Ya antes de la excavación, alguna de estas tumbas era visible en el talud de la carretera Antequera-Archidona que delimitaba entonces el recinto del Conjunto Arqueológico por el Sur¹. Como resultado de la excavación y dentro de la denominada Cata 7 fue posible identificar un grupo de cuatro tumbas de inhumación sin ajuar, justo sobre el talud de la carretera y a escasos metros al sur del dolmen de Viera. En la Cata 8, situada unos metros más hacia el interior del recinto de los dólmenes, se excavó una quinta tumba de inhumación de similares características, con cubierta de *tegulae* y sin ajuar (Ferrer Palma, 1997a: 136).

El registro obtenido en la intervención de 1988 tenía un gran valor científico, no solo por su potencial para ampliar el conocimiento sobre la ocupación de la vega de Antequera en la Antigüedad, sino, muy especialmente, por reflejar lo que de hecho parecía ser una intensa actividad humana en el entorno inmediato de los dólmenes de Menga y Viera, objeto epistemológico principal del PGI citado. De hecho, la significación del uso de estos dos megalitos en la Antigüedad sería de nuevo sugerida por posteriores intervenciones que proporcionaron diferentes evidencias resumidas y valoradas recientemente (*cf.* García Sanjuán y Lozano Rodríguez, En Prensa).

1 De hecho, la presencia de estas tumbas romanas en el entorno de Menga y Viera ya era conocida desde principios del siglo XX: "Desde tiempos remotos hubo población a la vera de estos sepulcros [megalíticos], pues el terreno de olivar que por bajo sigue hasta la vega y el cerro inmediato de Marimacho, abundan en cascotes de cerámica negra no torneada, cuchillos de pedernal y hachas de piedra, de las que una recogida por mí corresponde al tipo cilindroideo por aquí frecuente, y su materia es serpentina, de la que en grandes masas contiene el terreno diluvial granadino. Y no es ello solo, pues también menudea cascajo romano, teselas de mosaicos, sepulturas como fosas, revestidas de piedras o tégulas, formando cada una, según dicen, dos cavidades superpuestas con otros tantos cadáveres, y además cimientos de edificios, sobre todo en la 'Carnicería de los Moros'" (Gómez-Moreno Martínez, 1905: 88).

Básicamente, en la campaña de excavaciones de 1991 del anteriormente citado PGI, en el extremo suroccidental del túmulo de Menga, prácticamente ya en la zona de contacto con el túmulo de Viera (Corte nº 26 de acuerdo con la numeración de esta excavación), se localizó otra tumba romana. Esta sepultura estaba encajada en el relleno de piedras del túmulo de Menga y presentaba asimismo tejas a dos aguas que protegían un pequeño osario. Muy cerca, en el Corte 21 y en un sedimento superficial revuelto², se encontraron numerosos fragmentos de cerámica a torno entre los que se incluyen varios restos de *terra sigillata* y un pequeño trozo de vidrio romano.

Por otra parte, la intervención de apoyo a la consolidación del dolmen de Viera llevada a cabo en 2003 reveló nuevos testimonios de actividad fechados en la Antigüedad (Fernández Rodríguez *et al.*, 2006). El más destacado de ellos es una sepultura delimitada por ladrillos situada en el lado derecho del atrio de Viera según se entra y que no fue excavada (Fernández Rodríguez y Romero Pérez, 2007: 416); además, se identificaron unas ranuras sobre la primera cobija que, en opinión de los excavadores, podrían haber sido ocasionadas por trabajos de cantería realizados en la Antigüedad para el desmantelamiento parcial del megalito (Fernández Rodríguez *et al.*, 2006: 95). Al hilo de estas constataciones, los excavadores señalaron la presencia en el entorno de Menga y Viera de una posible estructura de sillares "...presumiblemente un pequeño columbario, cercano al actual cementerio local" (Fernández Rodríguez y Romero Pérez, 2007: 416).

Las dos últimas campañas de excavaciones realizadas en el dolmen de Menga en 2005 y 2006, también depa-
raron evidencias arqueológicas de actividad durante la Antigüedad. Según el informe de las excavaciones llevadas a cabo entre abril y junio de 2005, como parte de los trabajos de control de movimiento de tierras para el acondicionamiento de la iluminación y accesos de Menga, dirigidos por Verónica Navarrete Pendón, en el Corte nº 3 (siguiendo la nomenclatura de

la excavadora) se identificó una estructura de época romana descrita como "siliforme", que incluía una piedra de molino y cerámica común romana³. Según la excavadora, justo fuera de esta estructura, que no parecía tener un carácter funerario, se encontró un fragmento de *terra sigillata* clara D. En la intervención llevada a cabo por la Universidad de Granada en el mismo megalito entre octubre de 2005 y mayo de 2006, concretamente en el Corte 3 (según la numeración de cortes de esta excavación), se identificaron numerosos restos materiales de cronología romana asociados a la estructura con muro circular, que tampoco era de carácter funerario⁴.

Por tanto, todas las excavaciones (sin excepción) realizadas durante las últimas décadas en los dólmenes de Menga y Viera y en su entorno más inmediato han puesto de manifiesto la importancia del sitio en la Antigüedad. Sin embargo, ninguno de estos registros empíricos ha sido objeto de un estudio pormenorizado más allá de referencias generales en los preceptivos informes arqueológicos a los que obliga la administración autonómica.

1.B. OBJETIVOS Y CONDICIONANTES DEL ESTUDIO

Atendiendo a los precedentes, contexto y consideraciones citadas, el presente trabajo se enmarca dentro de las actuaciones del PGI "Sociedades, Territorios y Paisajes en la Prehistoria de las Tierras de Antequera (Málaga)"⁵, que tiene como uno de sus objetivos principales el estudio sistemático del registro empírico de las diferentes excavaciones realizadas en los megalitos antequeranos.

En este sentido, el presente trabajo tiene como objetivo el estudio de la colección de materiales de la excavación arqueológica llevada a cabo en 1988 y que actualmente está depositada en el Museo de Málaga. Se trata de dos cajas de artefactos (básicamente material cerámico y constructivo), así como dos pequeñas bolsas de material óseo, tanto humano

2 Comunicación personal del profesor Ignacio Marqués Merelo, a quien agradecemos la información.

3 NAVARRETE PENDÓN, V. (2005): *Memoria de los Trabajos en el Control de Movimientos de Tierras para el Acondicionamiento de Iluminación y Accesos al Sepulcro Megalítico de Menga*. Informe Inédito.

4 CARRIÓN MÉNDEZ, F., MUÑIZ LÓPEZ, T., GARCÍA GONZÁLEZ, D., LOZANO RODRÍGUEZ, J. A., FÉLIX, P. y LÓPEZ RODRÍGUEZ, C. F. (2006): *Intervención en el Conjunto Megalítico de Menga y Viera (Antequera, Málaga)*. Granada. Universidad de Granada. Informe Inédito.

5 Aprobado por la Secretaría de Cultura de la Consejería de Educación, Cultura y Deportes de la Junta de Andalucía para el periodo 2013-2018, y dirigido desde la Universidad de Sevilla, con participación de las universidades de Alcalá de Henares, Granada y Southampton.

como faunístico. Estas cajas fueron entregadas al Museo de Málaga en 2012 por la Universidad de Málaga⁶, donde, presuponemos, habían estado almacenadas desde 1988.

El estudio de este conjunto de materiales ha consistido en la caracterización tipológica y tecnológica de los materiales muebles, fundamentalmente cerámicos, así como en el análisis bioarqueológico y datación radiocarbónica de los restos humanos y faunísticos.

La principal fuente de contextualización de los materiales aquí estudiados es la colección de 21 fotografías de campo en blanco y negro y 91 en color, facilitada por el Dr. Rafael Atencia Páez, y que fueron escaneadas en su integridad por el equipo del Grupo de Investigación ATLAS de la Universidad de Sevilla. Deben mencionarse las varias limitaciones derivadas de los condicionantes inherentes a la colección de materiales investigada: 1) no se ha dispuesto del registro escrito y planimétrico de la excavación (diarios y plantas); 2) desconocemos si el material actual-

mente depositado en el Museo de Málaga constituye la totalidad del material documentado, o representa tan solo una parte del mismo derivada de una selección hecha durante la excavación o con posterioridad (tampoco hemos dispuesto de datos relativos a si el sedimento de la excavación fue cribado); 3) se desconocen las razones de la aparente contradicción existente entre el análisis bioarqueológico que solo ha deparado restos de un único individuo, y el registro fotográfico, que sugiere que fueron 5 las tumbas excavadas en la campaña de 1988; 4) la ubicación de las 10 catas no ha podido ser establecida de forma precisa, y solo en algunos casos ha podido serlo de forma aproximada gracias a la colección de fotografías de campo. La Figura 3 de este trabajo muestra la ubicación estimada de las cuadrículas.

A pesar de estas limitaciones y condicionantes, creemos que el estudio realizado aporta nuevos datos de interés sobre la ocupación de la vega de Antequera en la Antigüedad y, sobre todo, en relación con la compleja biografía de los monumentos megalíticos de Menga y Viera.

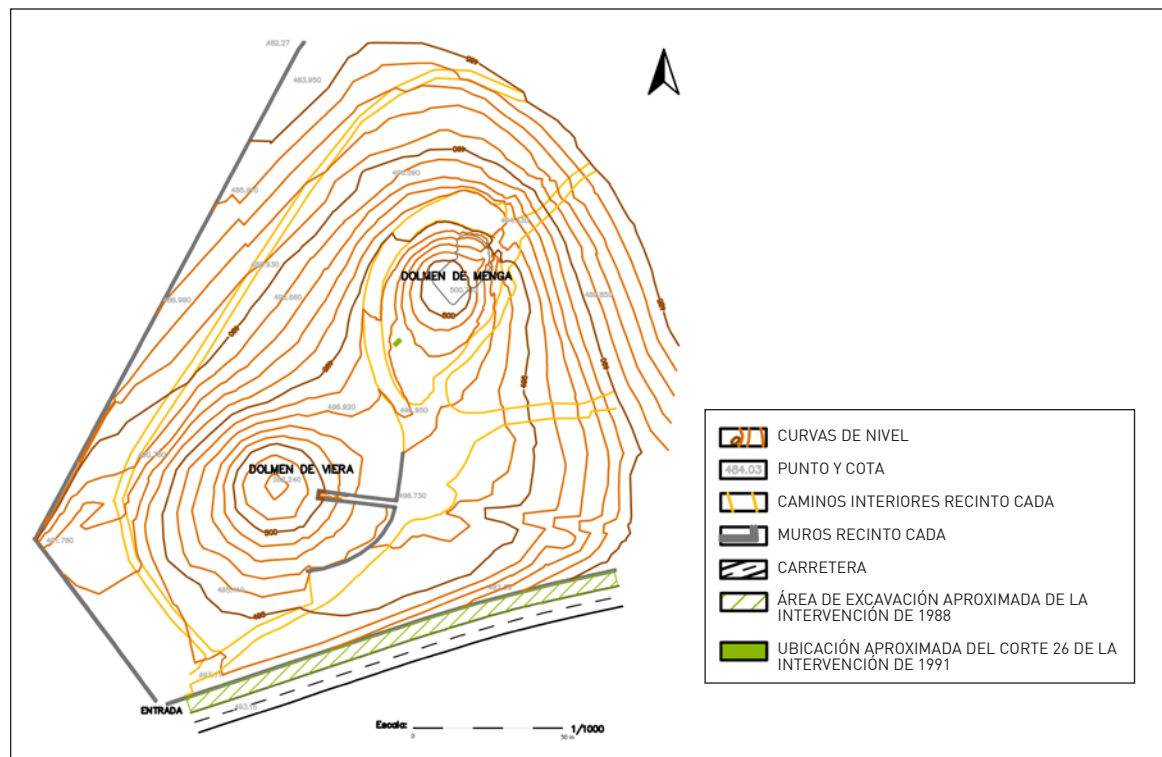


Fig. 3. Plano con la ubicación aproximada del área donde se encontraban las catas excavadas en 1988 y del corte 26 excavado en 1991. Diseño: Coronada Mora Molina a partir de la base cartográfica de TD-TEC.

6 Agradecemos la información al Sr. José Suárez Padilla.

2. CULTURA MATERIAL

De forma general, la colección de materiales de la intervención de 1988 que se conserva actualmente en el Museo de Málaga, que es listada en su integridad en el Anexo 1, presenta una amplia cronología que abarca desde posibles materiales de la Prehistoria Reciente, hasta materiales característicos de época Moderna y Contemporánea pasando por otros típicos de la Antigüedad. Ello es consistente con la intensa frecuentación que el entorno de los megalitos antequeranos ha conocido, de forma probablemente ininterrumpida, desde el Neolítico hasta nuestros días (García Sanjuán y Lozano Rodríguez, En Prensa). Revisten especial interés los posibles (y muy escasos) restos prehistóricos, consistentes en un fragmento de cerámica a mano de factura tosca y una hoja de sílex tallada. Dada la ausencia de datos contextuales y de dataciones absolutas de estas piezas, por ahora no es posible descartar que daten de la Antigüedad o incluso periodos históricos posteriores, en los que tanto la cerámica a mano como los utensilios en sílex (especialmente para tareas de trillo) son comunes en la región antequerana.

El grueso de la colección artefactual revela una importante actividad en la Antigüedad, principalmente durante el Bajo Imperio y Antigüedad Tardía

(siglos IV-VI DNE), reflejando de forma general un ambiente doméstico. Se trata fundamentalmente de material constructivo y cerámico cuya presencia en el sitio sería resultado del abandono de estructuras edilicias y/o de los desechos de vajillas de mesa y menajes domésticos y de cocina. La presencia en las Catas 1, 3, 4 y 6 de *laterculi*, que como material constructivo se emplea generalmente para la pavimentación de suelos domésticos o de talleres y espacios artesanales, de placas de mármol en las Catas 1 y 3, así como la existencia en las Catas 1 y 3 de una pileta probablemente hidráulica (Lám. 1), sugieren la existencia de una importante serie de edificaciones civiles (quizás productivas) en el sitio. Junto a estas estructuras civiles o domésticas, destacan 5 tumbas con inhumaciones sin ajuar en fosas cubiertas mediante *tegulae* (Láms. 2, 3 y 4).

El estudio morfo-tipológico del material constructivo y cerámico, especialmente de las cerámicas de importación, sugiere la existencia de dos grandes etapas de actividad en la zona durante la Antigüedad.

En los siglos I-II DNE encontramos una primera fase que se caracteriza por la presencia de *Terra Sigillata* Gálica (TSG) del taller de La Graufesenque con iden-



Lám. 1. Pileta hallada en la Cata 3. Foto: Rafael Atencia Páez.



Lám. 2. Tumbas romanas con cubierta de *tegulae* en la Cata 7. Foto: Rafael Atencia Páez.

tificación de la forma Dragendorff 37 de la segunda mitad del siglo I DNE (Passelac y Vernhet, 1993; Roca Roumens, 2005), y la presencia de un fragmento de cuenco en *Terra Sigillata* Hispánica (TSH) con decoración de friso de círculos que se data entre el último cuarto del siglo I DNE y el siglo II DNE (Mezquiriz de Irujo, 1985; Roca Roumens y Fernández García, 1999). Junto a estas cerámicas se documentan fragmentos de otras más comunes (jarras, cuencos, lebrillos, ollas, etc.), y algún fragmento de vaso de mesa de paredes finas con engobe.

La segunda fase de actividad es aparentemente más significativa que la anterior, y se refleja en materiales que parecen haberse depositado como resultado de la amortización o abandono de estructuras edilicias, caso de la pileta de la Cata 3, lo que podría marcar un declive o discontinuidad de la actividad del sitio en el siglo VI DNE. Su datación se establece a partir de los materiales de importación para el servicio de mesa y de la cerámica "tosca" de uso doméstico. Se trata de numerosos fragmentos de ollas de factura tosca para la cocina que conviven con platos y cuencos de *African Red Slip* C y D (ARS C y D) de importación norteafricana y con cuencos y platos en *Terra Sigillata* Hispánica tardía meridional (TSHTM) (Figs. 4, 5 y 6). Estos materiales cerámicos datan el inicio de esta segunda fase más reciente en el siglo IV DNE sin que

existan materiales claramente fechables en el siglo III DNE. De estos momentos se documentan platos en ARS D de la forma Hayes 59 del siglo IV a inicios del V DNE (Hayes, 1972: 98; Carandini y Tortorella, 1981: 82-83), Hayes 61A del siglo IV-V DNE (Hayes, 1972: 102; Carandini y Tortorella, 1981: 83-84) y Hayes 67 (Hayes, 1972: 114). Ya plenamente del siglo V DNE encontramos el cuenco Hayes 73 en ARS C (Hayes, 1972: 122; Carandini y Sagui, 1981: 72-73), así como los cuenco en ARS D de la forma Hayes 91a (Hayes, 1972: 142; Carandini y Tortorella, 1981: 105). Las importaciones africanas vinculadas al siglo VI DNE (490-550 DNE) se corresponden exclusivamente con un fragmento de plato de la forma Hayes 104a (Bonifay, 2004: 183). Las producciones decoradas mediante la técnica del estampillado/impresión se encuentran representadas por el Estilo A (I-III) del siglo IV-V DNE en fondos de plato con motivos de palmas y círculos.

Con dataciones genéricas entre los siglos IV-VII DNE se documentan 3 fragmentos de cerámicas en TSHTM; aunque se pueden vincular de forma más precisa al siglo V y a inicios del siglo VI DNE (Vázquez Paz, 2009). Los tipos identificados se relacionan con las formas de cuenco Orfila 1 y plato Orfila 9 (Ramallo Asencio, 1984; Orfila Pons, 2009; Vázquez Paz y García Vargas, 2014).



Lám. 3. Proceso de excavación de la tumba romana con cubierta de tegulae hallada en la Cata 7. Foto: Rafael Atencia Páez.



Lám. 4. Tumba romana con cubierta de tegulae hallada en la Cata 8. Foto: Rafael Atencia Páez.

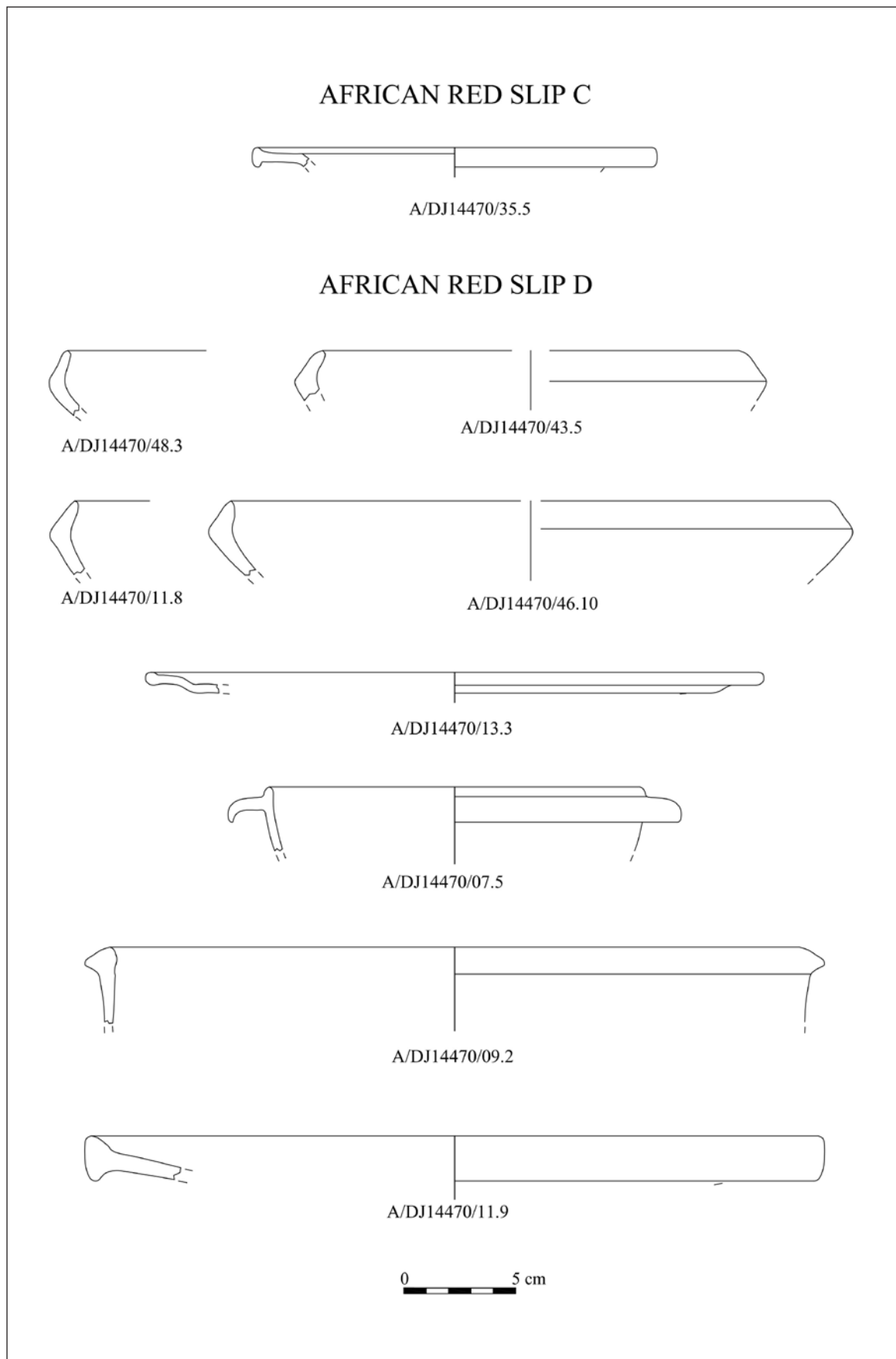
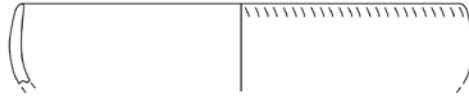


Fig. 4. Conjunto de cerámica African Red Slip C y D (ARS C y D). Dibujo: Jacobo Vázquez Paz.

TERRA SIGILLATA HISPÁNICA TARDÍA MERIDIONAL



A/DJ14470/55.2



A/DJ14470/10.4



A/DJ14470/11.10

CERÁMICA COMÚN TOSCA



A/DJ14470/12.2



A/DJ14470/15.2



A/DJ14470/07.2

0 5 cm

Fig. 5. Conjunto de cerámica Terra Sigillata Hispanica tardía meridional (TSHTM) y cerámica común tosca. Dibujo: Jacobo Vázquez Paz.

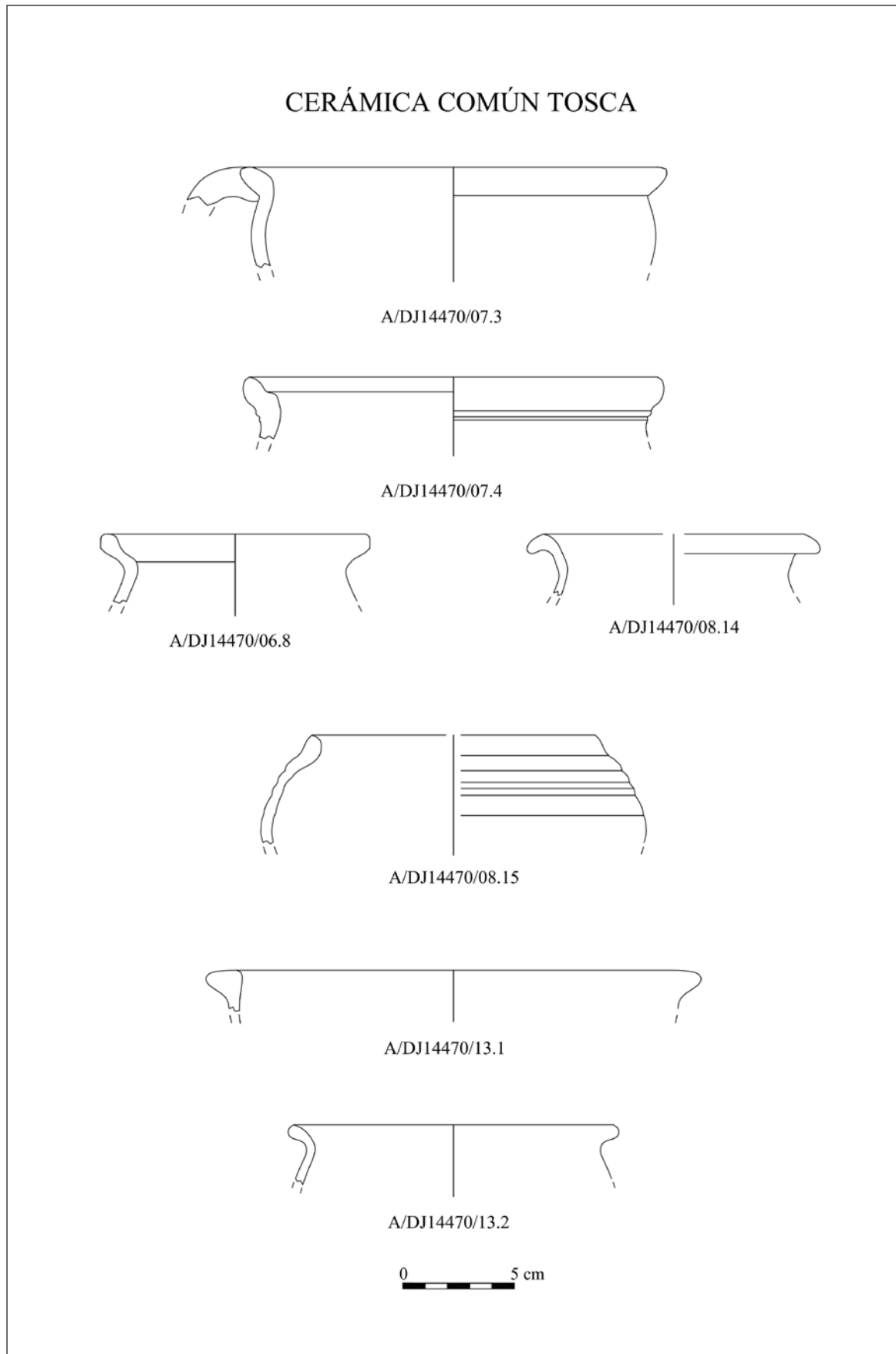


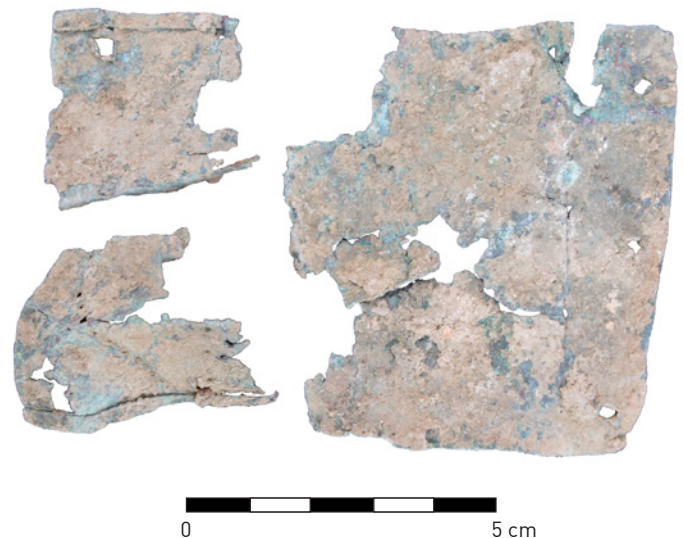
Fig. 6. Conjunto de cerámica común tosca. Dibujo: Jacobo Vázquez Paz.

Además del material cerámico y constructivo la colección aquí estudiada incluye dos objetos metálicos, consistentes en un cascabel (Lám. 5) y en una placa con perforaciones para su sujeción a un alma no conservada (Lám. 6). Desde el punto de vista de su caracterización tecnológica, ambos objetos han sido analizados por el Dr. M. Hunt Ortiz mediante Microfluorescencia de Rayos X (Tab. 1). En el caso del cascabel, los resultados muestran una composición de aleación de cobre y zinc con presencia minoritaria de estaño y plomo, lo que indica que se trata de latón. La placa presenta una composición correspondiente a un bronce binario, de cobre y estaño.

En lo que respecta al encuadre cronológico y funcional de la placa de bronce poco se puede decir; sin embargo sobre el cascabel se podría apuntar que las aleaciones de cobre y zinc no eran desconocidas en la Antigüedad, denominándose oricalco. Algunos estudios sobre objetos de latón romano (especialmente fibulas), sugieren que las piezas procedentes de Galia contienen entre un 15 y un 25% de zinc mientras que las encontradas en Hispania presentan entre el 7 y el 15% (Rovira Llorens, 1990: 138). El cascabel objeto de estudio contiene sin embargo un 29%, un contenido en zinc superior a la composición los objetos antiguos hechos en este material. Desde un punto de vista morfológico, el cascabel es en principio compatible con piezas modernas, fechables entre los siglos XVIII y XX DNE (Sánchez Trujillano y Gómez Martínez, 1995: 32-34). Esta pieza podría haber formado parte de unos jaeces con cascabeles que se disponen en collares alrededor del cuello del animal, así como alrededor de la grupa. En el contexto cronológico de la Antigüedad, el único precedente de hallazgo de este tipo de objeto en el entorno de una sepultura megalítica procede la tumba 14 de la necrópolis de Las Peñas de los Gitanos (Montefrío, Granada) (Ferrer Palma y Rodríguez Oliva, 1978). En este caso, se trata de un *tintinnabulum* o campanilla que apareció asociada a un depósito que incluía material orgánico carbonizado, abundantes fragmentos de cerámica a torno, 7 monedas, un acetre o recipiente metálico para libaciones, un amuleto compuesto de dos falos en sentido opuesto, así como objetos de cobre y bronce de funcionalidad diversa (varios de ellos eran apliques). Este hallazgo ha sido interpretado como resultado de uno o más actos de carácter religioso llevados a cabo en la Antigüedad Tardía delante del megalito (García Sanjuán *et al.*, 2007: 117). Desafortunadamente, el *tintinnabulum* apareció roto en varios fragmentos y nunca se ha publicado una reconstrucción gráfica del mismo.



Lám. 5. Cascabel. Foto: Jacobo Vázquez Paz.



Lám. 6. Placa con perforaciones. Foto: Jacobo Vázquez Paz.

	ELEMENTO	% PESO	% ATÓMICO
Cascabel	FeK	00.68	00.79
	CuK	65.86	68.01
	ZnK	29.18	29.29
	PbL	01.97	00.62
	SnK	02.32	01.28
Placa	FeK	00.24	00.28
	CuK	95.04	97.31
	PbL	00.77	00.24
	SnK	03.95	02.17

Tab. 1. Resultados analíticos de las dos piezas de metal, cascabel y placa, realizados en el metal sin pátina.

3. ANTROPOLOGÍA FÍSICA

3.1. MATERIALES Y MÉTODOS

Los restos óseos humanos estudiados aquí incluyen los materiales correspondientes a la excavación de 1988 así como una bolsa con otros restos humanos etiquetados como correspondientes a la intervención de 1991 del PGI de la UMA anteriormente citado, y que consta en el Museo de Málaga en la misma caja que los materiales de la excavación de 1988. En el caso de la intervención de 1988 no existe constancia de la tumba o cata (o catas) de las que proceden los restos óseos, mientras que los de la intervención de 1991 fueron hallados, según indica la etiqueta que los acompaña, en el Corte 26, por lo que entendemos que corresponden al osario con tejas a dos aguas que fue hallado encastrado en el relleno de piedras del túmulo de Menga.

Desde el punto de vista de la tafonomía, la descripción seguida ha tenido en cuenta las siguientes categorías: "agente tafonómico", en referencia a la causa física de la modificación registrada (por ejemplo, hidrología, carnívoros, ser humano, etc.), "proceso tafonómico" como a la acción de un agente sobre un hueso o el conjunto óseo (por ejemplo, el transporte hídrico, fractura, etc.) y "efecto tafonómico" como la modificación resultante de la alteración sufrida por el hueso y el conjunto óseo (Johnson, 1985). En el caso de los restos de la intervención de 1991, se han comparado los efectos producidos en la muestra de estudio con 6 categorías aplicadas en los estudios de M. A. Gutiérrez⁷ y otros (Johnson y Holliday, 1997).

Para calcular el NMI (Número Mínimo de Individuos) se ha considerado la clasificación dental, las regiones de cráneo que se han podido identificar entre el conjunto de fragmentos conservados, y los huesos largos identificados.

En cuanto a la descripción del desgaste dental y la estimación de la edad ha sido realizada por el método elaborado por D. R. Brothwell (1987), y el sistema de dientes anteriores y posteriores, tanto

maxilar como mandibular de C. O. Levejoy *et al.* (1985). Por otro lado, para un estudio exhaustivo de las caries dentales (solo identificadas en las piezas dentales de la intervención de 1991) se ha registrado la localización de la lesión y su grado de afección. Se ha seguido el sistema numérico establecido por J. E. Buikstra y D. H. Ubelaker (1994), aunque se ha completado con 4 nuevas variables (Distal, Mesial, Vestibular y Lingual) que precisan la localización de la lesión cervical en la unión cemento-esmalte, y la lesión en la raíz, bajo de la unión cemento-esmalte. Para el grado de afección de la caries se ha usado el sistema de R. L. Costa (1980). Para describir la expresión del cálculo dental (igualmente únicamente observado en las piezas dentales de la intervención de 1991) se ha seguido el código de J. E. Buikstra y D. H. Ubelaker (1994).

Con un fin descriptivo, todas las piezas dentales se han medido (AC: Altura de la corona, MD: Diámetro Mesodistal, BL: Diámetro Bucolingual) con un calibre digital de corredera de unos 150 mm, de la marca Medid, y se ha calculado el módulo, el índice de robustez y el índice coronal (Tabs. 2 y 3). Para la descripción del módulo de la corona se emplea la siguiente escala: Hipermicrodotes (<10,2), Microdotes (10,2-10,59), Mesodontes (10,6-10,99), Macroodontes (11,0-11,39) e Hipermacroodontes (>11,4) (Krenzer, 2006). En lo referente a patologías dentales, la descripción y análisis de la hipoplasia dental se ha llevado a cabo mediante la clasificación del grado de severidad de los defectos de hipoplasia propuesto por G. J. Trancho Gayo y B. Robledo Sanz (2001), al igual que se calcula la edad de aparición del episodio hipoplásico mediante las ecuaciones publicadas (Walker *et al.*, 1991).

Con el mismo calibre con el que se toman las mediciones dentales anteriormente referidas, hemos tomado las mediciones oportunas en los huesos largos de la intervención de 1988, así como con una cinta métrica (Tab. 4).

7 GUTIERREZ, M. A. (2004): *Análisis Tafonómicos en el Área Interserrana (Provincia de Buenos Aires)*. Tesis Doctoral Inédita. Universidad Nacional de La Plata, La Plata.

GUTIERREZ, M. A. (1998): *Taphonomic Effects and State of Preservation of the Guanaco (Lama guanicoe) Bone Bed from Paso Otero 1 (Buenos Aires Province, Argentina)*. Tesis de Maestría Inédita. Texas University, Lubbock (Texas)

MORFOMETRÍA DENTAL											
NºBOLSA/ DIENTE	AC	MD	BL	MÓDULO DE LA CORONA						ÍNDICES	
				VALOR Nº (ØMD+ØBL)/2	Hipermicrod. < 10,2	Microdotes 10,2 – 10,59	Mesodotes 10,6 – 10,99	Macrodotes 11,0 – 11,39	Hipermicrod. > 11,4	I.CORONAL (ØBL * ØMD)/100	I.ROBUS- TIC. CORONA ØBL * ØMD
1.1	-	6,03	6,94	6,48	-	-	-	-	-	0,418	41,84
1.2	-	5,18	5,83	5,50	-	-	-	-	-	0,30	30,25
1.3	-	4,65	5,68	5,16	X	-	-	-	-	0,26	26,41

Tab. 2. Morfometría dental. Intervención de 1988.

MORFOMETRÍA DENTAL											
NºBOLSA/ DIENTE	AC	MD	BL	MÓDULO DE LA CORONA						ÍNDICES	
				VALOR Nº (ØMD+ØBL)/2	Hipermicrod. < 10,2	Microdotes 10,2 – 10,59	Mesodotes 10,6 – 10,99	Macrodotes 11,0 – 11,39	Hipermicrod. > 11,4	I.CORONAL (ØBL * ØMD)/100	I.ROBUS- TIC. CORONA ØBL * ØMD
1.1	7,67	-	6,71	-	-	-	-	-	-	-	-
1.2	8	-	6,68	-	-	-	-	-	-	-	-
1.3	8,01	6,88	6,35	6,61	X	-	-	-	-	0,436	43,68
1.4	7,9	-	6,32	-	-	-	-	-	-	-	-
1.5	-	5,21	5,85	5,53	X	-	-	-	-	0,304	30,47
1.6	-	4,8	5,42	5,11	X	-	-	-	-	0,260	26,01
1.7	8,15	6,02	6,71	6,36	X	-	-	-	-	0,403	40,39
1.8	9,15	6,68	8,09	7,38	X	-	-	-	-	0,540	54,04
1.9	8,76	6,7	7,65	7,17	X	-	-	-	-	0,512	51,25
1.10	-	7,51	7,8	7,65	X	-	-	-	-	0,609	60,91
1.11	-	-	7,8	-	-	-	-	-	-	-	-
1.12	-	6,45	8,76	7,6	X	-	-	-	-	0,565	56,50
1.13	-	6,39	9,16	7,77	X	-	-	-	-	0,585	58,53
1.14	-	6,68	7,9	7,29	X	-	-	-	-	0,527	52,77
1.15	6,37	6,49	7,74	7,11	X	-	-	-	-	0,502	50,23
1.16	-	6,82	8,48	7,65	X	-	-	-	-	0,578	57,83
1.17	-	6,71	-	-	-	-	-	-	-	-	-
1.18	-	10,52	9,65	10,08	X	-	-	-	-	1,015	101,51
1.19	-	9,98	10,01	9,99	X	-	-	-	-	0,998	99,89
1.20	-	-	10,17	-	-	-	-	-	-	-	-
1.21	-	-	10,5	-	-	-	-	-	-	-	-
1.22	-	-	-	-	-	-	-	-	-	-	-
1.23	-	-	-	-	-	-	-	-	-	-	-
1.24	-	-	-	-	-	-	-	-	-	-	-

Tab. 3. Morfometría dental. Intervención de 1991.

MEDIDAS	VALOR
Diámetro sagital diafisal (anterior-posterior)	26,00 mm
Diámetro transversal diafisal (medial-lateral)	22,43 mm
Circunferencia de la diáfisis	65 mm

Tab. 4. Medidas tomadas en Diáfisis de Fémur Izquierdo.

3.2. DESCRIPCIÓN

3.2.1. Intervención de 1988

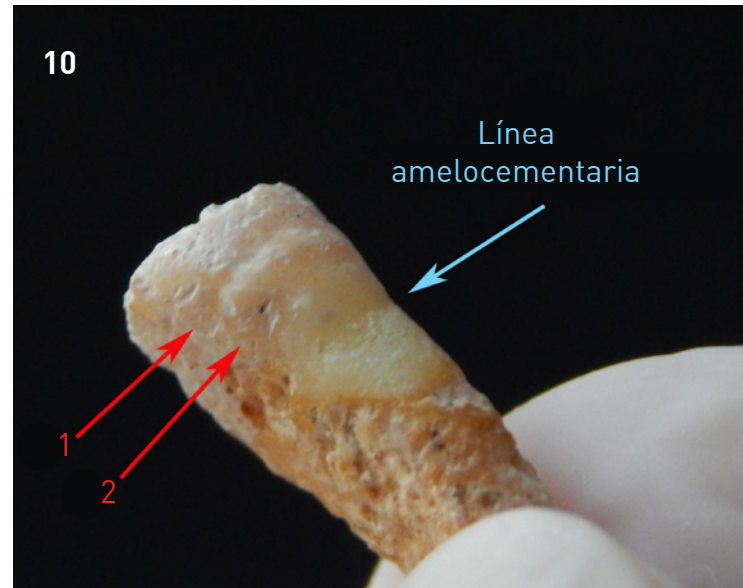
El material óseo identificado consiste principalmente en fragmentos de diáfisis de huesos largos de diferentes tamaños (< 19 cm) y fragmentos de cráneo (< 6 cm), además de alguna pieza dental y fragmentos de clavículas.

- Piezas dentales: se han contabilizado tres piezas dentales mandibulares fuera de sus alveolos, todas pertenecientes al sector anterior y a una dentición permanente. Se trata de un canino izquierdo, un incisivo lateral izquierdo y un incisivo central izquierdo.
- Cráneo: se observan pequeños fragmentos (< 6 cm) de diferentes partes del cráneo, un fragmento del temporal derecho, perteneciente al inicio del arco cigomático derecho, parte de un malar y un fragmento de una de las alas del hueso esfenoides.
- Huesos largos: se han identificado cinco fragmentos que forman parte de una diáfisis de un radio izquierdo, así como gran parte de la diáfisis de un fémur izquierdo (de unos 19 cm), apreciándose perfectamente la línea áspera en su cara posterior con ausencia de ambas epífisis. Varios fragmentos han permitido reconstruir parcialmente la diáfisis de un fémur derecho y varios pequeños fragmentos de fémur. Otros fragmentos de huesos largos han quedado sin identificar por su pequeño tamaño (< 5 cm de largo).
- Clavículas: Aparecen también tres fragmentos de clavículas, uno perteneciente a una clavícula izquierda y los otros dos posiblemente a una misma clavícula derecha, pues son regiones anatómicas opuestas y son muy similares en complejión.

El NMI (Número Mínimo de Individuos) estimado tras el estudio antropológico de los restos óseos de la intervención de 1988 es de 1. El que las piezas dentales hayan aparecido fuera de sus alveolos óseos, mezcladas junto a todo el conjunto de restos óseos, hace imposible establecer con total certeza si pertenecieron a un mismo individuo. Sin embargo, al tratarse de piezas correlativas en posición mandibular y ante la semejanza de efectos tafonómicos y desgaste dental que presentan las tres piezas, podría-

mos suponer que se trata probablemente de piezas correspondientes a un mismo individuo, por lo que se podría estimar su edad según el desgaste dental en aproximadamente 24-30 años. En lo que respecta al sexo, no ha podido ser estimado por la ausencia de regiones anatómicas diagnósticas.

Desde un punto de vista tafonómico, se aprecian pequeñas oquedades a lo largo de la superficie de los huesos, tanto craneales (Lám. 7) como largos, aunque se hace más evidente en estos últimos, apreciándose la pérdida de su apariencia (Lám. 8). Estas oquedades llegan en algunos puntos concretos a crear orificios en el tejido. De igual forma, las piezas dentales también presenta pequeñas oquedades, ya sea en esmalte como en raíz, aunque aparentemente son menos acusadas, probablemente debido a la mayor dureza de los tejidos dentarios. Otro efecto tafonómico observado en huesos y piezas dentales son manchas oscuras, de color azulado o negro, que se acentúan sobre todo a lo largo la superficie interna del hueso cortical de los fragmentos de huesos largos (Lám. 9), por un lado, los hoyos y/u oquedades y la modificación morfológica de los restos, obedecerían a una disolución química. Se trata de una reacción química entre el hueso y su microambiente más inmediato, resultando en la disolución y esculpido del hueso. En sus formas más severas, el hueso pierde su morfología original y la pérdida ósea es extensiva. Los hoyos comienzan siendo muy pequeños, en secciones aisladas de la superficie cortical y continúan progresivamente hasta que los mismos se hacen grandes y profundos, con los bordes pronunciados y llegando a cubrir toda la superficie del hueso (Johnson *et al.*, 1997). La causa de estos hoyos de disolución no es conocida aún pero podría relacionarse con la génesis del suelo, como los principales ácidos de los suelos, los ácidos fúlvicos y húmicos (Stevenson, 1969; Buol *et al.*, 1973; Birkeland, 1974, 1984). Esta modificación en la estructura ósea se ha clasificado dentro del estado 5, (efectos moderadamente severos; aún permanecen porciones de la superficie cortical, el esculpido se intensifica y los hoyos se profundizan; comienza a modificarse la forma original del hueso). Por otro lado, las manchas de coloración oscuras mencionadas, podrían igualmente tener un origen químico, pues tal y como se indica en la obra de J. Yravedra Sainz de los Terreros (2006), otros procesos como la disolución del manganeso suelen producir puntos y manchas negras de tamaño variable que se relacionan con concentraciones de agua estancada en unas



Lám. 7. Agentes tafonómicos en fragmentos de cráneo. Foto: Sonia Robles Carrasco.

Lám. 8. Agentes tafonómicos en fémur izquierdo. Foto: Sonia Robles Carrasco.

Lám. 9. Fragmentos de hueso largo con manchas oscuras comparándolo con otro fragmento (el de más inferior de la imagen) que no presenta manchas. Foto: Sonia Robles Carrasco.

Lám. 10. Incisivo Central Mandibular Izquierdo con hipoplasia dental. Foto: Sonia Robles Carrasco.

condiciones de temperaturas frescas y húmedas no superior a 14°C (Esteban, 1996). Por otro lado, algún autor ha propuesto que también pueden producirse en medios de una intensa actividad bacteriana (Shahack-Gross *et al.*, 1997). Las coloraciones negras y grises pueden deberse también a la acción de óxidos de hierro o manganeso, la impregnación de componentes húmicos puede ocasionar igualmente coloraciones azules, negras, gris o marrones según el contenido orgánico y la composición de ese humus, en otros casos la coloración difusa puede ser consecuencia de acciones químicas diversas (Flanchet, 1933; Auguste, 1994).

Desde el punto de vista paleopatológico, ninguna de las tres piezas presenta caries, ni se ha observado cálculo dental. El único indicador patológico se corresponde con una hipoplasia dental de grado 3 (moderada) con dos surcos lineales horizontales en su cara vestibular, registrada en un incisivo central mandibular izquierdo. De acuerdo con la distancia desde la línea amelocementaria a cada una de las lesiones de hipoplasia, según los criterios de G. J. Trancho Gayo y B. Robledo Sanz (2001), el primer episodio de hipoplasia (número 1 en la Lám. 10) tuvo lugar a los 2,6 años de edad, y el segundo (número 2 en la Lám. 10) a los 3,3 años.

Nº BOLSAS	DESCRIPCIÓN
1	PIEZAS DENTALES
1.1	Incisivo Central Maxilar Derecho
1.2	Incisivo Central Maxilar Izquierdo
1.3	Incisivo Lateral Maxilar Derecho
1.4	Incisivo Lateral Maxilar Izquierdo
1.5	Incisivo Central Mandibular Derecho
1.6	Incisivo Central Mandibular Izquierdo
1.7	Incisivo Lateral Mandibular Izquierdo
1.8	Canino Mandibular Derecho
1.9	Canino Mandibular Izquierdo
1.10	Canino Maxilar Derecho
1.11	Canino Maxilar Izquierdo
1.12	Primero Premolar Maxilar Izquierdo
1.13	Segundo Premolar Maxilar Izquierdo
1.14	Primer Premolar Mandibular Derecho
1.15	Primer Premolar Mandibular Izquierdo
1.16	Segundo Premolar Mandibular Derecho
1.17	Segundo Premolar Mandibular Izquierdo
1.18	Segundo Molar Mandibular Derecho
1.19	Primer Molar Mandibular Derecho
1.20	Segundo Molar Maxilar Derecho
1.21	Primer Molar Maxilar Derecho
1.22	Resto Radicular, probablemente Tercer Molar Derecho Maxilar
1.23	Resto Radicular, Probablemente Tercer Molar Mandibular
1.24	Primer Molar Maxilar Izquierdo

Nº BOLSAS	DESCRIPCIÓN
2	CRÁNEO
2.1	Fragmentos de cráneo
2.2	Esquirlas de cráneo
2.3	Pirámide petrosa izquierda
2.4	Fragmentos de conducto auditivo interno
3	Malacofauna
4	Sedimento fino resultante de la criba
5	Sedimento grueso resultante de la criba
6	Sin Identificar
7	Restos vegetales
8	Sin identificar

Tab. 5. Listado y descripción de bolsas resultantes del estudio.

3.2.2. Intervención de 1991

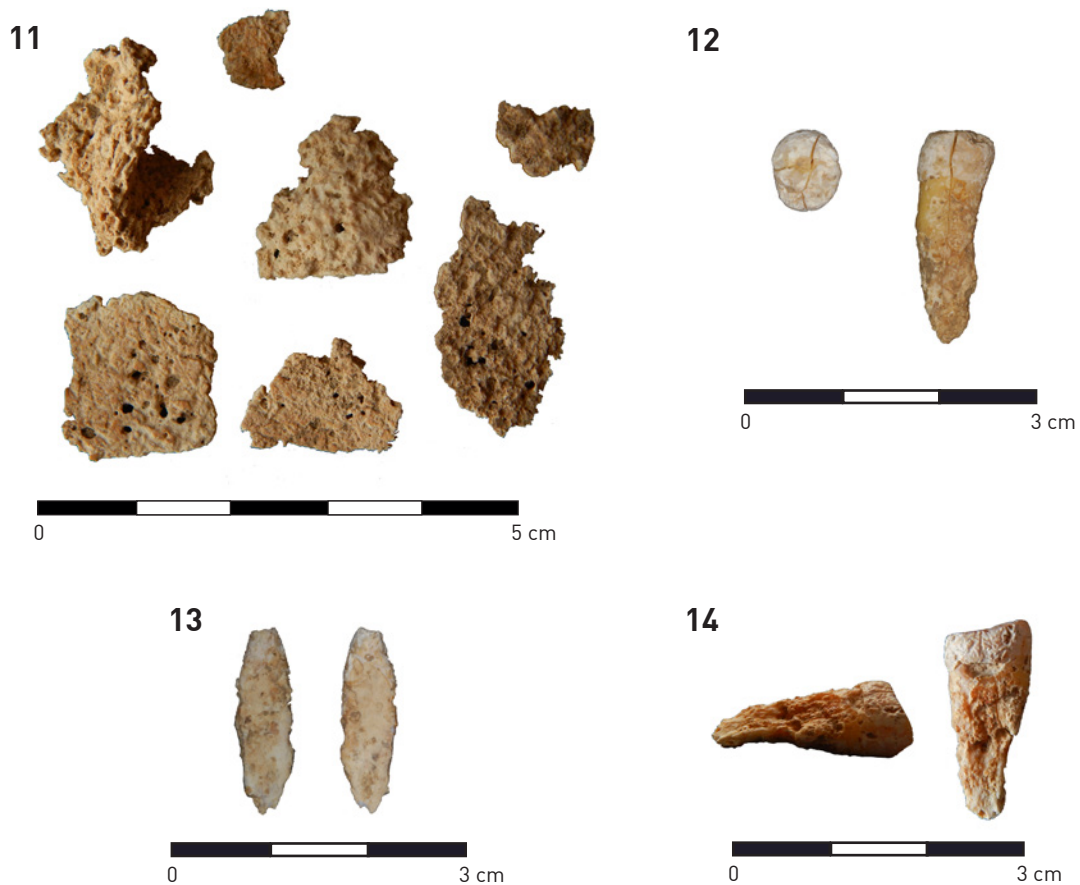
El material de la intervención del 1991 consiste fundamentalmente en pequeños fragmentos (< de 2 cm) y esquirlas de cráneo, además de piezas dentales. Entre los huesos craneales se observa un fragmento de una pirámide petrosa izquierda, dos fragmentos pertenecientes al conducto auditivo interno y fragmentos y esquirlas (unos 30 fragmentos de no más de 2 cm). Se han documentado 24 piezas dentales incluyendo dos restos radiculares. Todas ellas se encuentran fuera de su alveolo dental y pertenecen a una dentición permanente (Tab. 5). También se encontraron unos 10 pequeños fragmentos óseos (< de 3 cm) no identificados.

El NMI estimado es, de nuevo, de 1. Según el desgaste dentario, y considerando la posibilidad de que todas las piezas pertenezcan a un mismo individuo, se estima un rango de edad entre los 18-30 años.

Por otro lado, la estimación del sexo no ha podido llevarse a cabo ante la ausencia de regiones anatómicas diagnósticas.

En cuanto a los procesos tafonómicos observados, en los restos óseos craneales destaca el importante estado de fragmentación y daño estructural, haciéndose visible ya macroscópicamente oquedades y orificios que penetran de forma aleatoria hacia el interior, formando, en algunos casos, pequeños agujeros (Lám. 11). En la corona y en la raíz de las piezas dentales estudiadas destacan marcas tafonómicas de distinto tipo: fracturas, fisuras longitudinales y transversales, oquedades y/o depresiones y pérdida del brillo natural del esmalte (Lám. 12 y 13).

Desde el punto de vista paleopatológico, solo se observa la presencia de caries (Lám. 14) y cálculo dental o sarro. La caries aparece en 5 piezas poste-



Lám. 11. Fragmentos de cráneo con oquedades y orificios. A la derecha ampliación de uno de los fragmentos. Foto: Sonia Robles Carrasco.

Lám. 12. Pieza 1.14, Primer Premolar Mandibular Derecho, con fisuras longitudinales por raíz y corona. Foto: Sonia Robles Carrasco.

Lám. 13. Pieza 1.5, Incisivo Central Mandibular Derecho; ejemplo de perfil sinuoso y oquedades. De izquierda a derecha: cara mesial, cara distal. Foto: Sonia Robles Carrasco.

Lám.14. Caries en pieza 1.13, Segundo Premolar Maxilar Izquierdo. Foto: Sonia Robles Carrasco.

riores (dos premolares y tres molares), siendo dos de ellas caries generalizadas, con destrucción avanzada de la corona y parcial de la raíz, mientras que las otras tres son caries disto-cervicales, dos con grado de afección 2 (agujero, fisura o superficie lisa con moderada cavitación) y una de grado de afección 3 (agujero o fisura afectando a la cámara pulpar).

Por otro lado, se han tomado las mediciones necesarias en dientes anteriores y posteriores con el fin de calcular el módulo de la corona dental (Tab. 6). El módulo de la corona es una expresión de la masa relativa coronal, calculado por la suma de los diámetros mesodistal y bucolingual dividido por dos; por eso la medición relativa del módulo de la corona se utiliza para fines comparativos y descriptivos (Krenzer, 2006). Los resultados de esta medición muestran que todos los dientes son hipermicrodotes (<10,2 mm), aunque hay que mencionar que en 10 de las

piezas no se ha podido llevar a cabo medición alguna debido a fracturas de la corona. Con estas mediciones se calculan además índices para describir la forma dental o para calcular la superficie oclusal, tales como el índice coronal y el índice de la robustez de la corona. Sin embargo, hay que tener en cuenta que el desgaste de la corona dental conlleva que las mediciones no sean exactas, además, va a depender también de la edad del individuo y por ende, del tipo de dieta (Rodríguez Cuenca, 2003).

Un aspecto descriptivo observado en las piezas dentales es el de la pieza 1.19, Primer Molar Mandibular Derecho, consistente en la unión completa de sus dos raíces. A veces las piezas dentales presentan raíces adicionales o raíces ausentes, al igual que se viene observando la tendencia de disminución de la divergencia y aumento de fusión de las raíces desde el primer molar hasta el tercero (Krenzer, 2006).

MORFOMETRÍA DENTAL											
NºBOLSA/ DIENTE	AC	MD	BL	MÓDULO DE LA CORONA						ÍNDICES	
				VALOR Nº (ØMD+ØBL)/2	Hipermicrod. < 10,2	Microdentes 10,2 – 10,59	Mesodentes 10,6 – 10,99	Macrodentes 11,0 – 11,39	Hipermacrod. > 11,4	I.CORONAL (ØBL * ØMD)/100	I.ROBUS- TIC. CORONA ØBL*ØMD
1.1	7,67	-	6,71	-	-	-	-	-	-	-	-
1.2	8	-	6,68	-	-	-	-	-	-	-	-
1.3	8,01	6,88	6,35	6,61	X	-	-	-	-	0,436	43,68
1.4	7,9	-	6,32	-	-	-	-	-	-	-	-
1.5	-	5,21	5,85	5,53	X	-	-	-	-	0,304	30,47
1.6	-	4,8	5,42	5,11	X	-	-	-	-	0,260	26,01
1.7	8,15	6,02	6,71	6,36	X	-	-	-	-	0,403	40,39
1.8	9,15	6,68	8,09	7,38	X	-	-	-	-	0,540	54,04
1.9	8,76	6,7	7,65	7,17	X	-	-	-	-	0,512	51,25
1.10	-	7,51	7,8	7,65	X	-	-	-	-	0,609	60,91
1.11	-	-	7,8	-	-	-	-	-	-	-	-
1.12	-	6,45	8,76	7,6	X	-	-	-	-	0,565	56,50
1.13	-	6,39	9,16	7,77	X	-	-	-	-	0,585	58,53
1.14	-	6,68	7,9	7,29	X	-	-	-	-	0,527	52,77
1.15	6,37	6,49	7,74	7,11	X	-	-	-	-	0,502	50,23
1.16	-	6,82	8,48	7,65	X	-	-	-	-	0,578	57,83
1.17	-	6,71	-	-	-	-	-	-	-	-	-
1.18	-	10,52	9,65	10,08	X	-	-	-	-	1,015	101,51
1.19	-	9,98	10,01	9,99	X	-	-	-	-	0,998	99,89
1.20	-	-	10,17	-	-	-	-	-	-	-	-
1.21	-	-	10,5	-	-	-	-	-	-	-	-
1.22	-	-	-	-	-	-	-	-	-	-	-
1.23	-	-	-	-	-	-	-	-	-	-	-
1.24	-	-	-	-	-	-	-	-	-	-	-

Tab. 6. Morfometría dental.

4. RESTOS FAUNÍSTICOS

4.1. MATERIALES Y MÉTODOS

La fauna incluida en la colección de materiales de la intervención de 1988 actualmente conservada en el Museo de Málaga presenta un total de 24 restos, de los que la totalidad han podido ser identificados anatómicamente y zoológicamente conformando el número de restos determinados (NRD). La identificación y clasificación taxonómica de la muestra ósea se ha realizado con una colección comparativa propia (JARC), empleándose igualmente bibliografía complementaria (Barone, 1976; Pales y Lambert, 1971). La estimación del número

mínimo de individuos (NMI) se ha hecho siguiendo el criterio de escoger entre los huesos pares aquellos que contaran con mayor número de piezas de uno de los dos lados. El NMI obtenido de esta forma se ha modificado cuando la determinación de edades y sexos no concordaba con la primera estimación.

Se han medido todas aquellas piezas óseas que no se encontraban quemadas, presentaban señales de manipulación antrópica o estaban deformadas patológicamente. Las medidas se han realizado con calibres convencionales (error estimado ± 0.5 mm), siguiendo la metodología propuesta por A. von den Driesch (1976)⁸.

⁸ Las representaciones de los esqueletos animales están tomadas de <http://www.archeozoo.org/fr>.

ESPECIE/EDAD	INFANTIL	JUVENIL	SUBADULTO	ADULTO	SEÑIL
Vaca	0-5/9	5/9-24	24-60	60-180	+250
Ovicaprino	0-5/9	5/9-24	24-60	60-180	+180

Tab. 7. Edad expresada en meses.

Dentro de la categoría de ovicaprino se han incluido los restos en los que no ha sido posible diferenciar la oveja y la cabra, por tratarse de fragmentos que carecían de zonas diagnósticas para su clasificación o éstas eran poco claras. De ahí que, en general, pueda observarse cierta complementariedad entre las piezas asignadas a ovicaprino y las de oveja y cabra, siendo en el primer caso costillas, vértebras y fragmentos de diáfisis de huesos largos fundamentalmente. En los casos en que sí ha sido posible su diferenciación, se han seguido los criterios de J. Boessneck *et al.* (1964).

Todo el material óseo se ha pesado dando en gramos los resultados. El cálculo de la edad de sacrificio se ha realizado en función de la fusión de las epífisis en los huesos largos y el desgaste y reemplazo de las piezas dentales, siguiendo los criterios elaborados por el Laboratorio de Arqueozoología de la Universidad Autónoma de Madrid (Morales Muñoz *et al.*, 1994). La edad se expresa en meses tal y como se refleja en la Tab. 7.

4.2. DESCRIPCIÓN

Las especies identificadas han sido dos, vaca y cabra, aunque en el material atribuido a ovicaprino también podría estar representada la oveja. Todas ellas formaron parte del consumo alimentario. Se ha hecho una valoración de la presencia de los distintos taxones representados al objeto de valorar su cuantía, su tamaño en los casos en que esto sea posible, y su importancia dentro de la economía del yacimiento. Los restos empleados para este análisis son los siguientes:

- A/DJ/4470/1. Cata 3, interior de la pileta. Ovicaprino. Mandíbula: 4; húmero: 1; metacarpo: 1; tibia: 2. Peso: 126 gr. Cabra. Clavija: 3. Peso: 128 gr.
- A/DJ/4470/2. Interior de la pileta. Ovicaprino. Mandíbula: 2; vértebras: 1. Peso: 52 gr. Cabra. Clavija: 3 (peso: 123 gr.); húmero: 1; radio: 1. Peso: 12 gr.
- A/DJ/4470/3. Cata 4, Cava 2: Vaca. Astrágalo: 1. Pesos: 35 gr. Ovicaprino. Tibia: 2. Peso: 37 gr.

- A/DJ/4470/4. Cata 4, Cava 2: Vaca. Escápula: 1. Peso: 45 gr. Ovicaprino. Dientes inferiores: 1. Peso: 4 gr.

El desglose anatómico y la distribución de NRD, NMI y Peso por especies aparecen en las Tabs. 8 y 9 respectivamente.

De vaca (*Bos taurus*) se han identificado dos fragmentos óseos (8.33%) que corresponden a un único individuo adulto (25%) (Lám. 15). Con un total de 80 gramos se sitúa en segundo lugar (26.06%) en cuanto al peso del material óseo determinado y biomasa aportada al consumo alimentario, debido en gran parte al tamaño de sus restos (Tab. 8 y Fig. 7). En cuanto a las porciones esqueléticas representadas, en todos los casos son apendiculares (Tab. 9 y Fig. 8). Sólo se encuentra representada la cohorte de edad adulta, lo cual indicaría una posible utilización previa en labores agrícolas y de transporte antes de servir como alimento.



Lám.15. Vaca. Fragmento de escápula. Foto: José Antonio Riquelme Cantal.

	NRD	%	NMI	%	PESO	%
Vaca	2	8.33	1	25	80	26.06
Ovicaprino	14	91.67	3	75	227 + 25 1	73.94
Cabra	8					
TOTAL	24	100	4	100	307	

Tab. 8. NRD, NMI y Peso de las especies animales representadas.

	Vaca	Ovicaprino	Cabra
Clavija			6
Mandíbula		6	
Dientes inferiores		1	
Vértebra		1	
Escápula	1		
Húmero		1	1
Radio			1
Metacarpo		1	
Tibia		4	
Astrágalo	1		
TOTAL	2	14	8

Tab. 9. Desglose anatómico de las especies animales representadas.

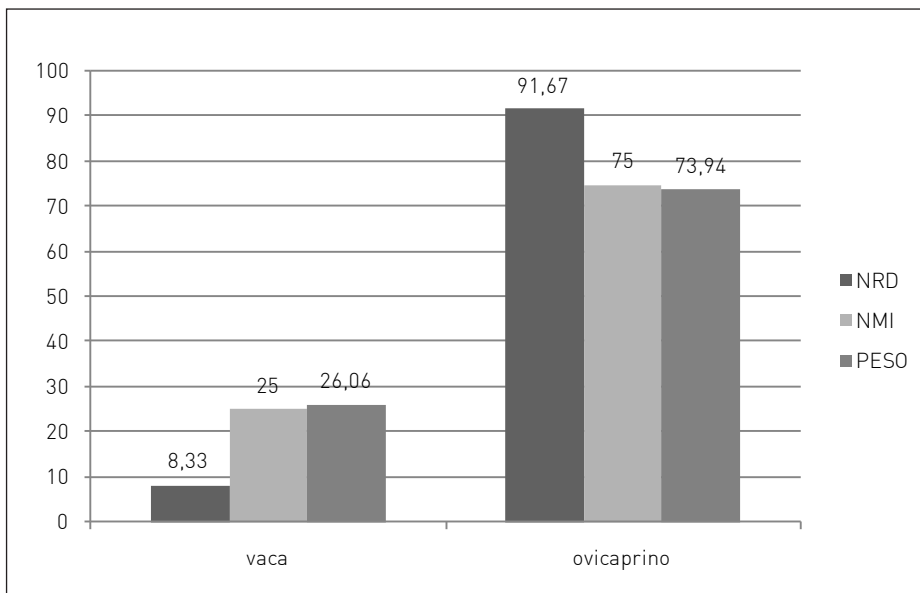


Fig. 7. NRD, NMI y Peso de las especies animales representadas. Diseño: José Antonio Riquelme Cantal.

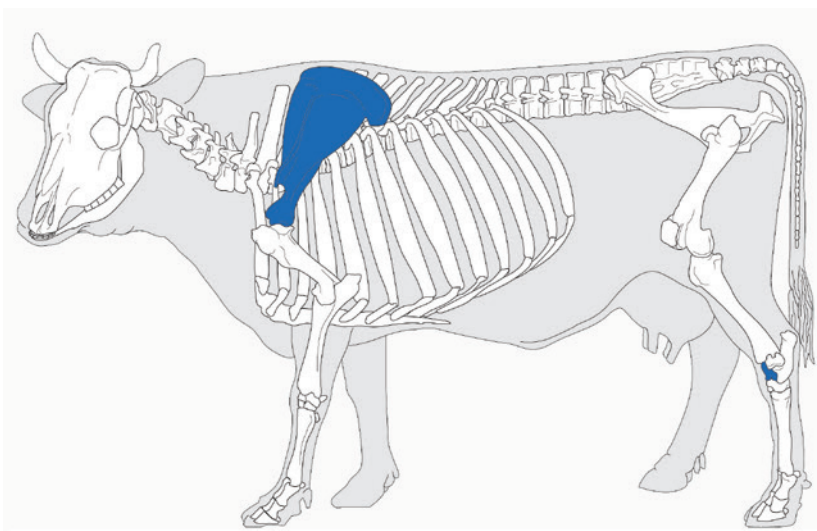


Fig. 8. Vaca. Distribución de los huesos representados según su cantidad (datos en Tab. 8). Diseño: José Antonio Riquelme Cantal.

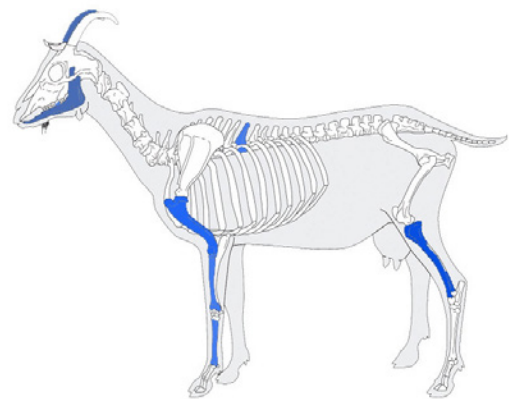


Fig. 9. Ovicaprino. Distribución de los huesos representados según su cantidad (datos en Tab. 8). Diseño: José Antonio Riquelme Cantal.



Láms. 16 y 17. Cabra. Fragmentos de clavijas óseas. Foto: José Antonio Riquelme Cantal.

Como ovicaprino (*Ovis aries/Capra hircus*) se han incluido todos los restos determinados de cabra junto a los que no pudieron ser clasificados a especie y que se engloban bajo el epígrafe de ovicaprino. En total se han determinado 14 restos de ovicaprino y ocho de cabra que, en conjunto, suponen el 91.67% del material identificado, perteneciente a un número mínimo de 3 individuos (75%), con lo cual esta cabaña ganadera se sitúa en primer lugar en cuanto a NRD y NMI de todas las especies determinadas. Con un peso total de 227 gramos (73.94%) se sitúa también en primer lugar en cuanto al peso del material óseo determinado y la biomasa aportada al consumo alimentario (Tab. 9 y Fig. 9). No se incluyen en esta cantidad los 251 gramos pertenecientes a los fragmentos de clavijas óseas debido a que podrían distorsionar los resultados de la biomasa aportada por esta cabaña ganadera. Dichas clavijas óseas presentan cortes tendentes a separarlas del cráneo, posiblemente para fracturarlo con mayor facilidad. Las porciones esqueléticas mejor representadas son las craneales seguidas de apendiculares y axiales (Tab. 9), siendo los fragmentos de clavijas óseas (Láms. 16 y 17) y mandibulares los más numerosos. En relación con la edad de sacrificio, se encuentran representadas las cohortes de edad juvenil y adulta respectivamente (1 ejemplar juvenil y 2 adultos). En cuanto a la proporción oveja/cabra, a fin

de extraer conclusiones más relevantes respecto del tipo de ganadería que imperaba en la zona, parece que sería la cabra la más numerosa, aunque la escasez y fragmentación del material analizado impide conocer la verdadera importancia de ambas especies en la composición de esta cabaña ganadera.

5. CRONOLOGÍA

Desde el punto de vista cronológico, como se ha descrito anteriormente, el estudio de la cultura material sugiere que en el espacio circundante a los dólmenes de Menga y Viera hubo en la primera mitad del I milenio DNE dos fases de actividad. La más antigua, fechable en los siglos I-II DNE estaría básicamente representada por una pequeña parte del material incluyendo cerámica *Terra Sigillata* Gálica del taller de La Graufesenque con identificación de la forma Dragendorff 37 de la segunda mitad del siglo I DNE y un fragmento de cuenco en *Terra Sigillata* Hispánica (TSH) con decoración de friso de círculos que se data entre el último cuarto del siglo I DNE y el siglo II DNE. La más reciente, representada por el grueso de los materiales estudiados, sugiere una importante actividad durante el Bajo Imperio y la Antigüedad Tardía (siglos IV-VI DNE).

Esta valoración puede ser complementada con los resultados de las ocho dataciones radiocarbónicas obtenidas sobre muestra de los restos óseos humanos y animales descritos más arriba (Tab. 10). Las cuatro dataciones radiocarbónicas obtenidas sobre hueso humano (dos por cada uno de los dos individuos identificados en el análisis bioarqueológico), y que obviamente reflejan una actividad funeraria en la zona, se agrupan entre mediados del siglo II y mediados del siglo IV DNE. Por su parte, las dataciones sobre hueso de animal, obtenidas de muestras procedentes de la pileta de la Cata 3 y de la Cava 2 de la Cata 4, correspondientes a cuatro especímenes de animales diferentes, se agrupan entre mediados del siglo V y mediados del siglo VII DNE (Fig. 10).

Respecto a las dataciones sobre hueso humano, existe una ligera discrepancia entre las dos dataciones obtenidas para el individuo identificado entre los restos de la campaña de 1988 (dataciones Beta-412999, 1790 ± 30 , y Beta-413000 1730 ± 30) y entre dos obtenidas para el individuo encontrado en la campaña de 1991 (Beta-413001, 1770 ± 30 , y Beta-413002, 1700 ± 30). Esta discrepancia puede ser debida a procesos diagenéticos del hueso humano y a variaciones estadísticas en el proceso de medición de las muestras en el laboratorio, y han sido observados en otros estudios en los que se han realizados varias dataciones sobre hueso de los mismos individuos (García Sanjuán et

al., En Prensa). En este caso creemos que las diferencias entre las dataciones no resultan estadísticamente significativas según la prueba de Chi-Cuadrado aplicada: $T'=2.0$; $v=1$; $T'(5\%)=3.8$ para el individuo de la campaña de 1988 y $T'=2.7$; $v=1$; $T'(5\%)=3.8$ para el individuo de la campaña de 1991. Por ello no resultan problemáticas a la hora de valorar la cronología general del conjunto. La Figura 11 muestra las dos dataciones de cada uno de los dos individuos sumadas. Estas dataciones sugieren que los dólmenes de Menga y Viera fueron utilizados como cementerio entre mediados del siglo II y mediados del siglo IV DNE, una práctica que incluyó el uso consciente y deliberado de los túmulos y espacios aledaños de los megalitos, en lo que interpretamos como una reutilización que da continuidad al espacio dolménico, al igual que ocurriría algunos siglos más tarde (Díaz-Zorita Bonilla y García Sanjuán, 2013) ya en la Edad Media. Las tumbas de las que estos restos humanos fueron recuperados no presentaban ajuares, por lo cual no existe cultura material cuya cronología pueda ser contrastada con la de las dataciones radiocarbónicas. La cronología radiocarbónica de uso del espacio megalítico como lugar de enterramiento se solapa parcialmente con la cronología de la primera fase de actividad en la zona según el estudio de la cultura material registrada en la excavación de 1988 (fuera de las tumbas), y que se data entre la segunda mitad del siglo I DNE y a lo largo del siglo II DNE.

CAMPAÑA	CÓDIGO	ÁREA/ CORTE	CAPA	Nº MUESTRA	MATERIAL	CONTEXTO	SIGLA	BP	CAL DNE 2σ
Menga-88	A/DJ 14470/5			Muestra 1-C-14	Restos óseos humanos-fragmento de fémur derecho		Beta- 412999	1790 ± 30	133-330 DNE
Menga-88	A/DJ 14470/5			Muestra 2-C-14	Restos óseos huma- nos-pieza dental-I. L. inferior izquierdo 1.2.		Beta- 413000	1730 ± 30	243-386 DNE
Menga-91	A/DJ 14295/4			Muestra 3-C-14	Restos óseos humanos-pirámide petrosa (cráneo)		Beta- 413001	1770 ± 30	138-345 DNE
Menga-91	A/DJ 14295/4			Muestra 4-C-14	Restos óseos huma- nos-pieza dental- C. inferior izquierdo 1.9.		Beta- 413002	1700 ± 30	253-406 DNE
Menga-88	A/DJ 14470/1	Cata 3		Muestra 5-C-14	Fauna-cabra	Interior pileta	Beta- 413003	1500 ± 30	432-639 DNE
Menga-88	A/DJ 14470/1	Cata 3		Muestra 6-C-14	Fauna-ovicaprino	Interior pileta	Beta- 413004	1540 ± 30	426-588 DNE
Menga-88	A/DJ 14470/4	Cata 4	Cava 2	Muestra 7-C-14	Fauna-escápula		Beta- 413005	1490 ± 30	436-644 DNE
Menga-88	A/DJ 14470/3	Cata 4	Cava 2	Muestra 8-C-14	Fauna-ovicaprino		Beta- 413006	1520 ± 30	428-609 DNE

Tab. 10. Dataciones radiocarbónicas de muestras óseas del entorno de los dólmenes de Menga y Viera. Calibración con Oxcal v 4.2.4.

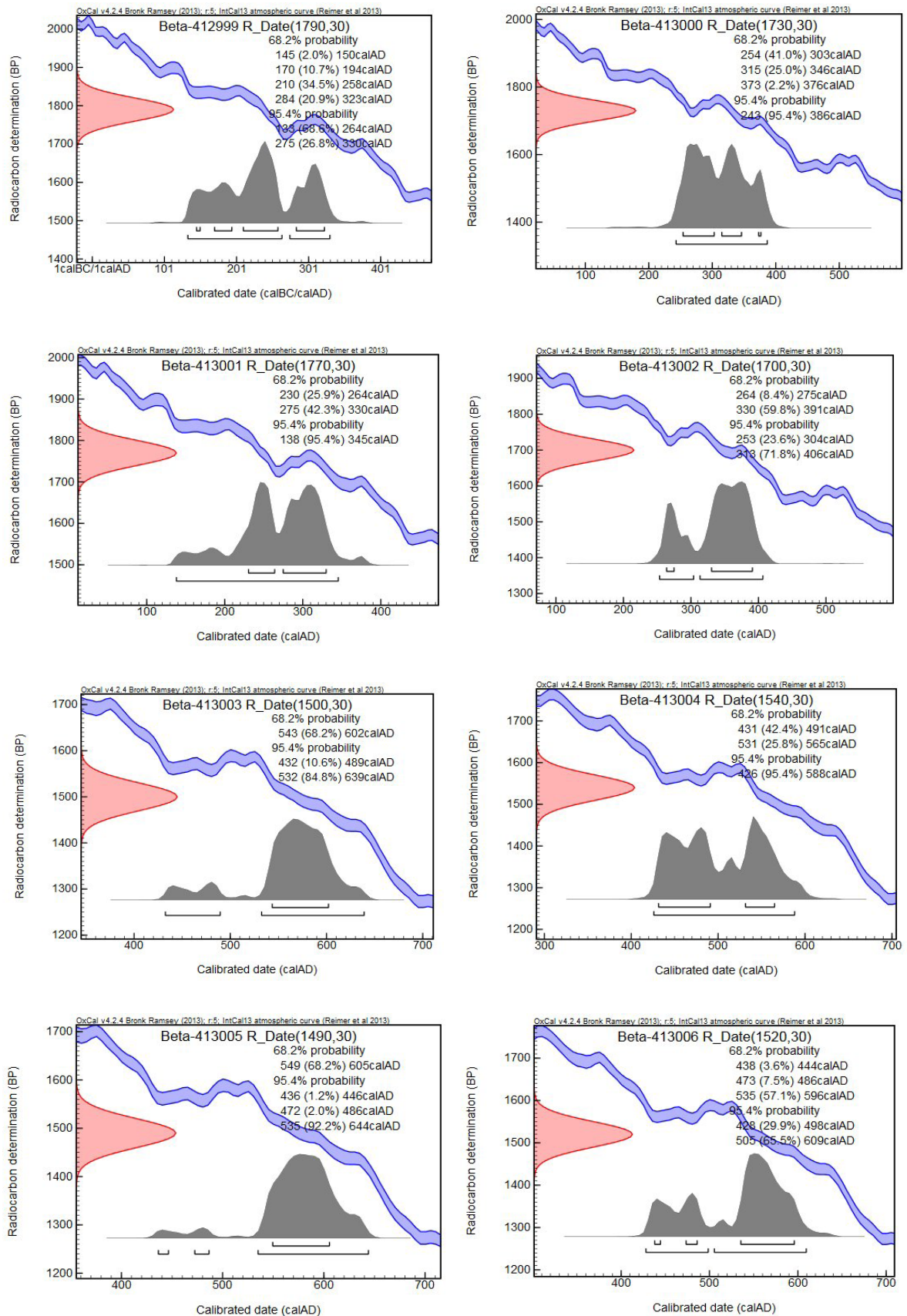


Fig.10. Distribuciones de las ocho dataciones radiocarbónicas obtenidas sobre muestras de hueso humano y animal de las excavaciones de 1988.

Respecto a las cuatro dataciones obtenidas sobre hueso animal, todos los resultados son muy compactos, agrupándose entre mediados del siglo V y mediados del siglo VII DNE. Estas dataciones se obtuvieron en todos los casos sobre muestras de ovicáprido, que en dos casos proceden de la estructura hidráulica (pileta) identificada en la Cata 3, y en otros de la Cava 2 de la Cata 4. Cuando se considerada estas cuatro dataciones de forma agregada (Fig. 11) su distribución no se solapa en absoluto con las muestras obtenidas sobre hueso humano, por lo que creemos que representan una fase posterior de uso del espacio⁹. La cronología radiocarbónica de los restos faunísticos coincide bastante con la cronología atribuida por el estudio de la cultura material a una segunda fase actividad en la zona, entre los siglos IV y VI DNE, dentro del Bajo Imperio y la Antigüedad Tardía. Representando la amortización de estructuras edilicias (caso de la pileta de la Cata 3), con una posible discontinuidad del uso de estas estructuras en el sitio en el siglo VI DNE.

6. DISCUSIÓN Y VALORACIÓN

Son varios los aspectos de interés que pueden desprenderse de este estudio de materiales, a pesar de las limitaciones que, como ya se expuso al principio, impone su carácter semi-descontextualizado.

En lo que respecta a la cronología, el equipo de la Universidad de Málaga dató las tumbas encontradas en la excavación de 1988 entre finales del siglo V y el siglo VI DNE (Ferrer Palma, 1997a: 136). Esta cronología de las tumbas es incorrecta a la luz de los resultados de las dataciones radiocarbónicas ya descritas, que sitúan las dos inhumaciones estudiadas entre mediados del siglo II y mediados del siglo IV DNE. Es muy posible que la datación propuesta por los colegas de la UMA se basase en la cultura material recuperada en 1988, la cual, como nuestro propio estudio señala, en buena parte representa una fase uso en los siglos IV-VI DNE, que se solapa parcialmente con la cronología radiocarbónica de

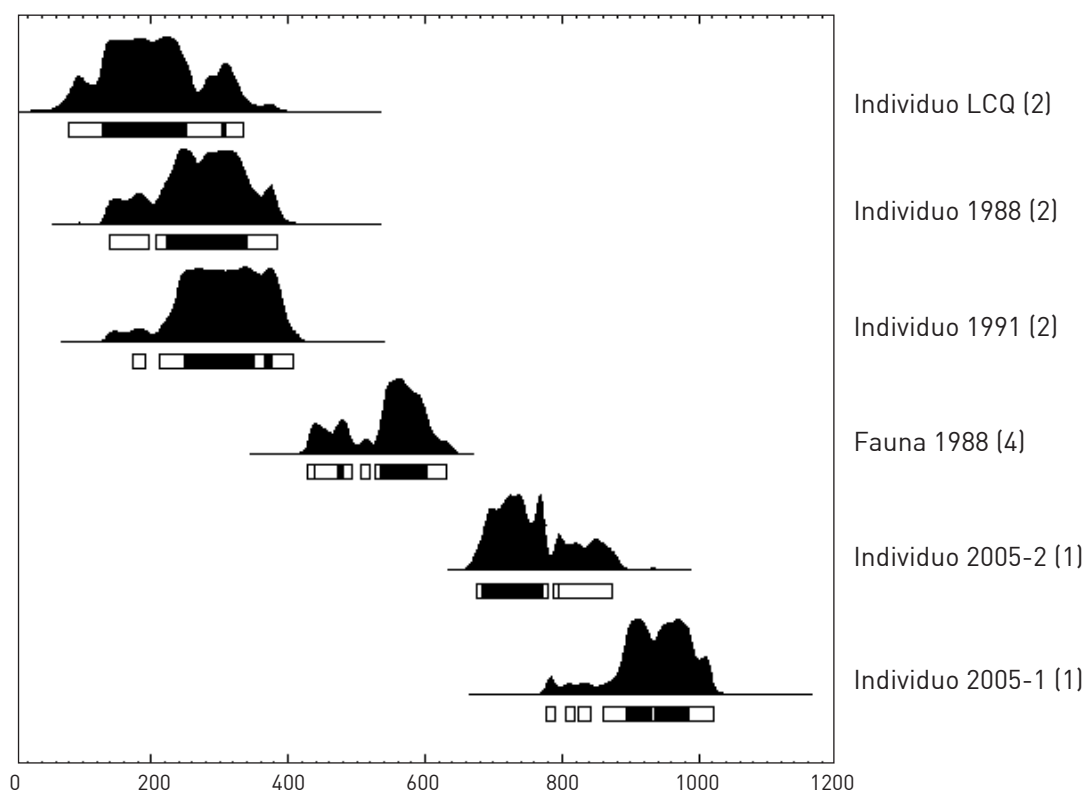


Fig. 11. Diagrama comparativo de las distribuciones acumuladas de las dataciones radiocarbónicas del I milenio cal DNE para los dólmenes de Menga y Viera. Diseño: Manuel Eleazar Costa Caramé.

⁹ La distribución a 2σ de la fecha Beta-413003 [432-639 cal DNE] queda sin embargo muy cerca de sola-parse, aunque no lo hace, con la fecha CNA-1174 [676-871 cal DNE] obtenida del Individuo 2 inhumado en el atrio de Menga (Díaz-Zorita Bonilla y García Sanjuán, 2013: 244).

los restos de fauna recuperados (siglo V y mediados del siglo VII DNE). Lo que se demuestra ahora, sin embargo, es que la cronología de la cultura material encontrada en la excavación de 1988 no coincide con la cronología de los restos humanos inhumados –que no incluían ajuares, lo cual dificulta notablemente su datación en base a criterios no-radiocarbónicos.

Una conclusión a extraer en este sentido es que también para el estudio de las prácticas sociales y de las culturas de la Antigüedad el análisis radiocarbónico es de necesaria aplicación, que es lo contrario de lo que suele suceder, dado el bajo grado de aplicación que este método científico presenta entre los/as especialistas de este periodo cronológico. Una segunda conclusión importante es que, combinando los arcos cronológicos aportados por las dataciones radiocarbónicas y por la datación de la cultura material, parece claro que el entorno de los dos grandes megalitos antequeranos, y quizás los dos megalitos en sí, fue objeto de actividad probablemente continuada a lo largo de toda la primera mitad del primer milenio DNE. En realidad, el espacio podría haber sido objeto de actividad, tanto funeraria como de otro tipo, de forma ininterrumpida a lo largo de todo el primer milenio DNE, pues las dos dataciones radiocarbónicas obtenidas de los dos individuos inhumados en el atrio del dolmen de Menga dieron fechas radiocarbónicas que, combinadas a 2σ , abarcan desde finales del siglo VII hasta principios del siglo XI DNE (Díaz-Zorita Bonilla y García Sanjuán, 2012: 244). Unidos a otros datos, esto refuerza la impresión de que ambos monumentos, y especialmente Menga, fueron frecuentados y utilizados de distintas formas desde su mismo origen en el Neolítico Final, durante la Prehistoria Reciente, la Protohistoria, la Antigüedad y el Medioevo, hasta, al menos, ya entrada la Edad Moderna, no cayendo nunca en el olvido (García Sanjuán y Lozano Rodríguez, En Prensa: 395).

Una cuestión importante a establecer es, por supuesto, si la proximidad espacial a los megalitos de las estructuras de época romana identificadas en 1988, y muy especialmente las tumbas, incluyendo las encontradas en 1991 y 2003 (esta segunda todavía *in situ* y sin excavar), ya que se solapan a la arquitectura de los dólmenes, constituye una circunstancia meramente casual o resulta de decisiones tomadas conscientemente por los agentes sociales involucrados y explicables por una continuidad del significado social,

ideológico o religioso de los megalitos durante la Antigüedad. En otras palabras ¿fueron Menga y Viera la razón por la que se practicaron los enterramientos precisamente allí y no en otro sitio cercano?

Por supuesto, para responder a esta pregunta hay que tener en cuenta que a unos 500 metros hacia el sureste de Menga y Viera se encuentra el asentamiento rural o *villa* de Carnicería de los Moros (Arcos von Haartman y Álvarez Rubiera, 1987; Riñones Carranza, 1987b), cuya posible relación con el uso de los megalitos en la Antigüedad ha sido ya explorada en términos de su posible función como “...ninfeo (...) espacio asimismo utilizado coetáneamente a la necrópolis, como lugar de transformación de sílex” (Ferrer Palma, 1997a: 136) o como *villa* (Marqués Merelo *et al.*, 2004: 184; Fernández Rodríguez y Romero Pérez, 2007: 416). De acuerdo con los resultados de la excavación llevada a cabo en 1985 se propuso una cronología de a partir de mediados del siglo III DNE para la construcción del gran aljibe de este establecimiento, con un momento de mayor auge del uso del ninfeo en el siglo V (Riñones Carranza, 1987b: 256). Las tres tumbas de inhumación que rompían el mosaico encontrado en el lateral Oeste del aljibe no pudieron ser fechadas, por carecer de ajuares (Riñones Carranza, 1987b: 254 y 256).

Los muros y la estructura hidráulica encontrados en 1988 en el borde del recinto megalítico, sobre el talud de la carretera nacional 342 Antequera-Archidona, a escasa distancia de Vera y Menga, pudieron formar parte de este establecimiento rural; la presencia de estas estructuras en el entorno de los megalitos podría, por tanto, ser producto de una mera coincidencia. Lo mismo podría incluso pensarse de las cuatro tumbas encontradas sobre el talud de la carretera, dada la proximidad de la ciudad de Antikaria. Lo que sin embargo parece mucho más dudoso es que el osario encontrado sobre el túmulo de Menga en 1991, con *tegulae* bien trabadas con las piedras del propio túmulo, y muy especialmente el identificado (y todavía no excavado) en 2003 en el lateral derecho del atrio de Viera, fueran colocados donde fueron colocados por casualidad. Más bien parece deducirse que las personas que practicaron aquellos enterramientos tenían una conciencia o conocimiento de la presencia de las estructuras megalíticas y que precisamente tuvieron la intención expresa de colocar los depósitos funerarios en aquel lugar por causa de su venerable antigüedad, estima religiosa y quizás vinculación emocional.

A este respecto, es importante recordar que los enterramientos aquí estudiados no son las únicas evidencias de prácticas funerarias llevadas a cabo en la Antigüedad en un sitio prehistórico de la vega antequerana. En el yacimiento de Loma de Cortijo Quemado, un hábitat de pequeñas dimensiones, ubicado en la ladera media-alta de un cerro, sobre terrenos de fácil accesibilidad, se identificaron 30 estructuras negativas que contenían cultura material del IV al III milenios ANE (cerámicas, artefactos líticos pulimentados e industria en sílex tallado). En una de las estructuras negativas, muy diferente a las demás por su morfología, se identificó un depósito funerario con una inhumación (Fernández Rodríguez, 2005). Las dos muestras de hueso de este individuo analizadas por radiocarbono proporcionaron fechas¹⁰ de 1845 ± 45 BP (Ua-22988) ó $66-318$ cal DNE 2σ y 1790 ± 45 BP (Ua-22989), ó $94-381$ cal DNE 2σ (Fig. 11) lo que demuestra que se trata de un depósito funerario de la Antigüedad, probablemente inscrito entre los siglos II-IV DNE, en un sitio en el que la totalidad de los contextos identificados son prehistóricos. Sin embargo, en este caso, al contrario que en el de las grandes construcciones megalíticas, cabe razonablemente dudar de que hubiese una voluntad consciente, por parte quienes practicaron el enterramiento, de reutilizar un sitio ancestral, ya que los contextos prehistóricos ni son funerarios ni habrían sido visibles en superficie.

Se desconoce qué significación exacta los megalitos neolíticos pudieron tener para personas que, más de 3000 años después realizaban prácticas funerarias en sus túmulos o corredores, pero en el continente europeo existen abundantísimos ejemplos de prácticas similares, especialmente en regiones atlánticas de fuerte tradición megalítica, como la Bretaña francesa (Vegby, 2015), Gran Bretaña (Howard, 1998), Irlanda (Cooney, 2015), norte de Alemania (Holtorf, 1998), o la propia península ibérica (García Sanjuán *et al.*, 2007; García Sanjuán y Díaz-Guardamino Uribe, 2015). La posibilidad de que los megalitos tuvieran un activo papel en la vida social de las comunidades antequeranas de la primera mitad del I milenio DNE plantea por supuesto nuevas preguntas. Una pregunta interesante es qué colectivos o agentes sociales escogieron los megalitos y su entorno para enterrar a sus muertos. El equipo de la Universidad de Málaga que

realizó las excavaciones ya llamó la atención sobre el hecho de que las inhumaciones encontradas en 1988 carecieran de ajuares, lo que interpretaron en el sentido de que las personas en ellos enterrados pudieron haber formado parte de la servidumbre de la villa de Carnicería de los Moros (Marqués Merelo *et al.*, 2004: 184). Si la cronología de uso de la villa fuese compatible con la cronología radiocarbónica obtenida para los restos humanos, esta posibilidad debería ser tomada en cuenta. Incluso, si la cronología de las tumbas no coincidiese con la de ocupación y uso, seguiría siendo válida la hipótesis de que las tumbas hubieran sido utilizadas por gente de baja extracción social. En esta dirección apuntan los dos episodios hipoplasia de grado 3 (moderada), identificados en un diente del individuo de la intervención de 1988 y que habrían correspondido a episodios de malnutrición en su infancia temprana. Unas condiciones nutricionales deficientes coinciden con lo que podría esperarse de un grupo social de extracción baja, sin recursos para procurarse ajuares en sus tumbas, como podrían haber sido esclavos o siervos. Por supuesto, desde un punto de vista demográfico un solo individuo no permite hacer generalizaciones estadísticamente válidas, por lo que esto debe ser considerado tan solo como una hipótesis que requeriría futuras contrastaciones, cuando existan más y mejores datos sobre las condiciones de vida y dieta de las poblaciones de la primera mitad del I milenio DNE en la vega de Antequera.

Cabe, finalmente, señalar la cuestión del significado que estas reutilizaciones (o utilizaciones continuadas) de los megalitos antequeranos pudieron tener en clave identitaria, lo cual remite a la cuestión de los procesos de "romanización" y su desarrollo en Tierras de Antequera, un tema que está siendo objeto de estudio en la actualidad (Moreno Escobar, 2011a; 2011b, 2012). Cualquiera que sea el significado que se dé al concepto de "romanización" parece claro que durante la primera mitad del I milenio DNE las comunidades locales, o una parte de ellas, seguía utilizando los ancestrales monumentos megalíticos como espacio de referencia religioso y funerario. Todas las excavaciones practicadas en Menga y Viera en las últimas cuatro décadas han deparado, sin excepción, sustanciales evidencias de su frecuentación o uso en la Antigüedad. Incluso, en el caso del *tholos* de El Romeral, donde no se han llevado nunca

10 Información inédita facilitada por Luis Efrén Fernández Rodríguez, a quien agradecemos su amable colaboración.

a cabo excavaciones con metodología científica moderna, se encontraron tales evidencias tras su descubrimiento a principios del siglo XX: “El corredor arrojó pocos huesos, como de animales pequeños, y más cerámica en abundancia, de clase diversa, haciendo fe respecto de época un cacho de tégula y otro de ímbrice romanos; lo demás, o bien parece romano también, como un elegante cuello de hidria, o bien es groserísimo, hecho a mano y cocido mal...” (Gómez-Moreno Martínez, 1905: 88). La presencia de *tegulae* en El Romeral coincide plenamente con la constatación en Menga y Viera de estos materiales, tan frecuentemente usados para construir tumbas en la sociedad hispano-romana.

Cabría especular sobre el significado social, ideológico y político específico que el uso de los megalitos antequeranos tuvo en la antigüedad. Como es sabido, el pasado es una poderosa herramienta de acción política, bien sea con el fin de subvertir el orden vigente, o con el fin exactamente opuesto de mantenerlo. La casuística del papel de los monumentos prehistóricos en tales negociaciones políticas durante la Antigüedad a lo largo y ancho de Europa es muy sustancial (García Sanjuán *et al.*, 2007; Díaz-Guardamino Uribe *et al.*, 2015). Ahora podemos estar bastante seguros de que los grandes monumentos megalíticos antequeranos tuvieron una similar presencia en la vida social de Antequera y su entorno durante la Antigüedad.

AGRADECIMIENTOS

Este trabajo ha sido realizado dentro de los proyectos *Naturaleza, Sociedad y Monumentalidad: Investigaciones Arqueológicas de Alta Resolución del Paisaje Megalítico de Antequera* (HAR2013-45149-P) (2014-2017) e *Innovación, Continuidad e Hibridación: Las Sociedades de las Edades del Cobre y Bronce en el Sur de la Península Ibérica* (HAR2013-42865-P) del Plan Nacional I+D del Ministerio de Economía y Competitividad del Gobierno de España, así como dentro del proyecto *Sociedades, Territorios y Paisajes en la Prehistoria de las Tierras de Antequera (Málaga)* (Proyecto General de Investigación de la Secretaría de Cultura de la Consejería de Educación, Cultura y Deportes de la Junta de Andalucía para el periodo 2013-2018). Deseamos mostrar nuestro más sincero agradecimiento a las muchas personas que han colaborado en la realización de este estudio: Rafael Atencia Páez facilitó amablemente el archivo foto-

gráfico de la intervención; María Morente del Monte, José Suárez Padilla y el resto del personal del Museo de Málaga nos dieron todo tipo de facilidades para consultar y estudiar el material; José Beltrán Fortes y Luisa Loza Azuaga nos ayudaron con varias gestiones y consultas. Agradecemos igualmente los comentarios de Luis Efrén Fernández Rodríguez y Manuel Romero Pérez a las primeras versiones de este trabajo.

BIBLIOGRAFÍA

- ARCOS VON HAARTMAN, E. y ÁLVAREZ RUBIERA, A. (1987): “Análisis de la naturaleza, estructura y tecnología del conjunto de mosaicos de la villa romana del Cortijo Auta (Riogordo), villa romana del Cortijo Vila (Alameda) y del ninfeo romano de Carnicería de los Moros (Antequera, Málaga)”, *Anuario Arqueológico de Andalucía 1986*. Tomo III. Actividades de Urgencia, Junta de Andalucía, Sevilla, pp. 252-258.
- ATENCIA PÁEZ, R. (1986): *Poblamiento Rural y Urbano de Época Romana en la Depresión de Antequera*, Universidad de Málaga, Málaga
- ATENCIA PÁEZ, R. (1988): *La Ciudad Romana de Singilia Barba (Antequera, Málaga)*, Málaga, Biblioteca Popular Malagueña 37.
- ATENCIA PÁEZ, R. y SERRANO RAMOS, E. (1980): “Las comunicaciones de Antequera en época romana”, *Jábega* 31, pp. 15-20.
- AUGUSTE, P. (1994): “Thème I Actions climatiques et édaphiques synthèse générale. Artefacts 9 Outillage peu élaboré en os et en bois Cervidés IV”, *Taphonomie / Bone modification*, pp. 17-27.
- BARONE, R. (1976): *Anatomie Comparée des Mammifères Domestiques*: Tomo 1º : *Osteologie*, Vigot, Lyon.
- BIRKELAND, P. W. (1974): *Pedology, Weathering, and Geomorphological Research*. New York, Oxford University Press.
- BIRKELAND, P. W. (1984): *Soils and Geomorphology*. New York: Oxford University-Press.
- BOESSNECK, J., MÜLLER, H. H. y M. TEICHERT (1964): “Osteologische Unterscheidungsmerkmale zwischen Schaf (*Ovis aries*, Linné) und Ziege (*Capra hircus*, Linné)”, *Kühn-Archiv*, 78 (1-2), pp. 1-129.
- BONIFAY, M. (2004): *Etudes Sur la Céramique Romaine Tardive d’Afrique*, Oxford, Archaeopress.
- BROTHWELL, D. R. (1987): *Desenterrando Huesos. La Excavación, Tratamiento y Estudio de Restos del Esqueleto Humano*, Fondo de Cultura Económica, México.

- BUIKSTRA, J. E. y UBELAKER, D. H. (1994): *Standards for Data Collection from Human Skeletal Remains*, Arkansas Archaeological Survey Research, Series No. 44.
- BUOL, S. W., HOLE, F. D. y MCCracken, R. J. (1973): *Soil Genesis and Classification*. Ames, Iowa State University Press.
- CARANDINI, A. y SAGUI, L. (1981): "Ceramica africana. Terra sigillata. Vasi non decorati o decorati a stampo. Produzione C", *Enciclopedia dell'Arte Antica Classica e Orientale. Atlante delle Forme Ceramiche I. Ceramica Fine Romana nel Bacino Mediterraneo (Medio e Tardo Impero)*, [Carandini, A. ed.], Instituto della Enciclopedia Italiana, Roma, pp. 58-78.
- CARANDINI, A. y TORTORELLA, S. (1981): "Ceramica africana. Terra sigillata. Vasi non decorati o decorati a stampo. Produzione D", *Enciclopedia dell'Arte Antica Classica e Orientale. Atlante delle Forme Ceramiche I. Ceramica Fine Romana nel Bacino Mediterraneo (Medio e Tardo Impero)*, [Carandini, A. ed.], Instituto della Enciclopedia Italiana, Roma, pp. 78-117.
- CISNEROS FRANCO, J. y CORRALES AGUILAR, M. (1994): "Informe sobre la necrópolis de La Angostura (Antequera, Málaga). Análisis altimétrico, planimétrico y orientación de los enterramientos excavados." *Actas del II Congreso Andaluz de Estudios Clásicos*, Tomo III, Sociedad de Estudios Clásicos, Málaga, pp. 279-283.
- CISNEROS GARCÍA, M. I., FERNÁNDEZ RODRÍGUEZ, L. E. y ROMERO PÉREZ, M. (eds.) (2014): *La Villa Romana de Caserío Silverio (Antequera)*, Antequera, Chapitel.
- COONEY, G. (2015): "Icons of Antiquity: remaking megalithic monuments in Ireland", *The Lives of Prehistoric Monuments in Iron Age, Roman and Medieval Europe*, [Díaz-Guardamino Uribe, M., GarcíaSanjuán, L. y Wheatley, D. W. eds.], Oxford University Press, Oxford, pp. 55-76.
- COSTA R. L. (1980): "Incidence of caries and abscesses in archaeological Eskimo skeletal samples from Point Hope and Koiak Island, Alaska", *American Journal of Physical Anthropology* 52, pp. 501-514.
- DÍAZ-GUARDAMINO URIBE, M., GARCÍA SANJUÁN, L. y WHEATLEY, D. W. (2015): "The lives of Prehistoric monuments in Iron Age, Roman and Medieval Europe: an introduction", *The Lives of Prehistoric Monuments in Iron Age, Roman and Medieval Europe*, [Díaz-Guardamino Uribe, M., García Sanjuán, L. y Wheatley, D. W. eds.], Oxford University Press, Oxford, pp. 3-18.
- DÍAZ-ZORITA BONILLA, M. y GARCÍA SANJUÁN, L. (2012): "Las inhumaciones medievales del atrio del dolmen de Menga [Antequera, Málaga]: estudio antropológico y cronología absoluta." *Menga. Revista de Prehistoria de Andalucía* 3, pp. 237-250.
- ESTEBAN, M. (1996): "Zooarchaeology from level TD 10 from Trinchera Dolina, Sierra de Atapuerca. Burgos", *III International Congress of prehistoric and protohistoric sciences*. Forli 8-14 Septiembre. Tomo 6, pp. 1279-1283.
- FERNÁNDEZ RODRÍGUEZ, L. E. (2005): "El AVE Córdoba-Málaga y el impacto generado sobre Cortijo Quemado, un nuevo yacimiento prehistórico en la Vega de Antequera", *Mainake* 27, pp. 253-276.
- FERNÁNDEZ RODRÍGUEZ, L. E. y ROMERO PÉREZ, M. (2007): "Las necrópolis en el entorno de Antikaria y Singilia Barba. Bases para su estudio sistemático", *Mainake* 29, pp. 401-432.
- FERNÁNDEZ RODRÍGUEZ, L. E., ROMERO PÉREZ, M. y RUIZ DE LA LINDE, R. (2006): "Resultados preliminares del control arqueológico de los trabajos de consolidación del sepulcro megalítico de Viera, Antequera", *Anuario Arqueológico de Andalucía 2003*, Tomo III, *Actividades de Urgencia*, Junta de Andalucía, Sevilla, pp. 89-99.
- FERRANDO DE LA LAMA, M., ESPINAR CAPPÀ, A. M. y PALOMO LABURU, A. (2014): "La necrópolis tardoantigua del yacimiento arqueológico de Caserío Silverio-Mayorga", *La Villa Romana de Caserío Silverio (Antequera)* [Cisneros García, M. I., Fernández Rodríguez, L. E. y Romero Pérez, M. eds.], Chapitel, Antequera, pp. 180-205.
- FERRER PALMA, J. E. (1997a): "Proyecto de reconstrucción arquitectónica y paleoambiental en la necrópolis megalítica de Antequera (1985-1991): aspectos metodológicos", *Arqueología a la Carta. Relaciones entre Teoría y Método en la Práctica Arqueológica*, [Martín Ruiz, J. M., Martín Ruiz, J. A. y Sánchez Bandera, P. J. eds.], Diputación Provincial de Málaga, Málaga, pp. 119-144.
- FERRER PALMA, J. E. (1997b): "La necrópolis megalítica de Antequera. Proceso de recuperación arqueológica de un paisaje holocénico en los alrededores de Antequera, Málaga", *Baetica* 19, pp. 351-370.
- FERRER PALMA, J. E. y RODRÍGUEZ OLIVA, P. (1978): "Hallazgos monetarios en Las Peñas de los Gitanos (Montefrío, Granada)", *Cuadernos de Prehistoria de la Universidad de Granada* 3, pp. 327-342.
- FERRER PALMA, J. E., MARQUÉS MERELO, I., BALDOMERO NAVARRO, A. y AGUADO MANCHA, T. (2004): "Estructuras tumulares y procesos de construcción en los sepulcros megalíticos de la provincia de Málaga: la necrópolis megalítica de Antequera", *Mainake. Estudios de Arqueología Malagueña* 26. *Monográfico Los Enterramientos*

- en la Península Ibérica durante la Prehistoria Reciente, pp. 117-210.
- FLANCHET, L. (1933): "La colerocion des os dans le Solutréan". *Rev. Scientifique Paria*, pp. 1-77.
- GARCÍA SANJUÁN, L. y LOZANO RODRÍGUEZ, J. A. (2015): "Menga: biografía de un monumento neolítico excepcional", *Antequera Milenaria. Historias de Una Tierra*. Volumen I. *La Prehistoria*, (García Sanjuán, L., ed.), Real Academia de Nobles Artes de Antequera, Antequera, pp. 394-475.
- GARCÍA SANJUÁN, L. y DÍAZ-GUARDAMINO URIBE, M. (2015): "Outstanding biographies of Prehistoric monuments in Iron Age, Roman and Medieval Iberia", *The Lives of Prehistoric Monuments in Iron Age, Roman and Medieval Europe*, (Díaz-Guardamino Uribe, M., GarcíaSanjuán, L. y Wheatley, D. W. eds.), Oxford University Press, Oxford, pp. 183-204.
- GARCÍA SANJUÁN, L., GARRIDO GONZÁLEZ, P. y LOZANO GÓMEZ, F. (2007): "Las piedras de la memoria (II). El uso en época romana de espacios y monumentos sagrados prehistóricos del Sur de la Península Ibérica", *Complutum* 18, pp. 109-130.
- GARCÍA SANJUÁN, A., BAYLISS, A., BEAVAN, N., CÁCERES PURO, L., COSTA CARAMÉ, M. E., DÍAZ-GUARDAMINO URIBE, M., DÍAZ-ZORITA BONILLA, M., FERNÁNDEZ FLORES, A., HAMILTON, D. HURTADO PÉREZ, V., LÓPEZ ALDANA, P. M., MÉNDEZ IZQUIERDO, E., PAJUELO PANDO, A., RODRÍGUEZ VIDAL, J., VARGAS JIMÉNEZ, J. M., WHEATLEY, D. y WHITTLE, A. (2016 - En preparación): "Radiocarbon-dating and Bayesian modelling for Copper Age Valencina de la Concepción (Sevilla, Spain)".
- GARCÍA Y BELLIDO, A. y GIMÉNEZ REYNA, S. (1948): *Antigüedades Romanas de Antequera*, Madrid.
- GÓMEZ-MORENO MARTÍNEZ, M. (1905): "Arquitectura tartesia: la necrópoli de Antequera", *Boletín de la Real Academia de la Historia* 47, pp. 81-132.
- GOZALBES CRAVIOTO, E. (1986): *Las Vías Romanas de Málaga*. Colegio de Ingenieros de Caminos, Canales y Puertos, Málaga.
- HAYES, J. W. (1972): *Late Roman Pottery*, London, The British School at Rome.
- HOLTORF, C. (1998): "The life-histories of megaliths in Mecklenburg-Vorpommern (Germany)", *The Past in the Past: The Reuse of Ancient Monuments*. *World Archaeology* 30 (1), (Bradley, R. y Williams, H. eds.), Routledge, London, pp. 23-39.
- JOHNSON, E. (1985): "Current developments in bone technology", *Advances in Archaeological Method and Theory*, (Schiffer, M. B., ed.), Vol. 8, Academic Press, New York, pp. 157-235.
- JOHNSON, E. y HOLLIDAY V. T. (1997): "Analysis of Paleoindian bonebeds at the Clovis Site: New data from old excavations", *Plains Anthropologist* 42, 161, pp. 329-352.
- KRENZER, U. (2006): *Compendio de Métodos Antropológico Forenses para la Reconstrucción del Perfil Osteo-Biológico*. Centro de análisis forenses y ciencias aplicadas. Guatemala.
- LÓPEZ TITO, B. y SALADO ESCAÑO, J. B. (2010): "Pozoancho III. Una nueva necrópolis romana en la vega de Antequera." *Anuario Arqueológico de Andalucía 2006*, Junta de Andalucía, Sevilla, pp. 3231-3242.
- LOZA AZUAGA, M. L. (1983): "Nuevos yacimientos romanos en la Depresión de Antequera." *Mai-nake. Estudios de Arqueología Malagueña* 4-5, pp. 191-200.
- LOVEJOY C. O., MEINDL R. S., PRYZBECK T. R. y MENSFORTH, R. P. (1985): "Chronological metamorphosis of the auricular surface of the ilium: A New method for the determination of adult skeletal age at death", *American Journal Physical Anthropology* 68 (1), pp. 15-28.
- LUQUE MORAÑO, A. (1972): "Arqueología antequerana", *Actas del IX Congreso Nacional de Arqueología (Mérida, 1968)*, Zaragoza, pp. 557-567.
- MARQUÉS MERELO, I., FERRER PALMA, J. E., AGUADO MANCHA, T. y BALDOMERO NAVARRO, A. (2004): "La necrópolis megalítica de Antequera (Málaga): historiografía y actuaciones recientes", *Baetica. Estudios de Arte, Geografía e Historia* 26, pp. 173-190.
- MELCHOR GIL, E. (1996): "La red viaria romana de la campiña de Córdoba: II. La Vía Corduba - Anticaria." *Caminería Hispánica: Actas del II Congreso Internacional de Caminería Hispánica* Vol. 1: *Caminería Física* (Criado De Val, M. ed.), AACHE Ediciones, pp. 37-50.
- MEZQUIRIZ DE IRUJO, M. Á. (1985): "Terra Sigillata hispánica", *Enciclopedia dell'Arte Antica Classica e Orientale. Atlante delle forme ceramiche II. Ceramica fine romana nel bacino Mediterraneo (Tardo Ellenismo e Primo Impero)*, (Baldassarre, I. ed.), Roma, Instituto della Enciclopedia Italiana, pp. 97-174.
- MORALES, A., CEREIJO, M. A., BRÄNNSTÖN, P. y LIESAU, C. (1994): "The mammals", *Castillo de Doña Blanca. Archaeo-environmental investigations in the Bay of Cádiz, Spain (750-500 B. C.)*, - British Archaeological Reports. International Series 593, Oxford, pp. 37-69.
- MORENO ESCOBAR, M. C. (2011a): "Romanización, paisaje y territorio en las Tierras de Antequera (Málaga, España): Estudio del cambio cultural a través del análisis arqueológico espacial", *Rom-va* 10, pp. 43-69.

- MORENO ESCOBAR, M. C. (2011b): "Cambios y permanencias en la Depresión de Antequera (Málaga): una mirada a la Romanización a través de los Sistemas de Información Geográfica", *Estrat Crític. Revista d'Arqueologia* 5 (I), pp. 134-143.
- MORENO ESCOBAR, M. C. (2012): "The occupation of the Antequera Depression (Malaga, Spain) through the 1st millennium BC: A geographical and archaeological perspective into Romanisation", *Landscape Archaeology between Art and Science: From a multi to an Interdisciplinary Approach*, (Kluiving, S. J. y Guttmann-Bond, E. B. eds.), Amsterdam University Press, Amsterdam, pp. 319-352.
- ORFILA, M. (2009): "La vajilla Terra Sigillata Hispánica Tardía Meridional", *Cerámicas Hispanorromanas: Un Estado de la Cuestión*, Universidad de Cádiz, Cádiz, pp. 541-551.
- PASSELAC, M. y VERNHET, A. (1993): "Céramique sigillée sud-gauloise", *Lattara* 6, pp. 569-580.
- PALES, L. y LAMBERT, CH. (1971): *Atlas Osteologique pour servir à l'Identificación des Mammifères du Quaternaire*. Paris.
- RAMALLO ASENCIO, S. (1984): "Datos preliminares para el estudio de las cerámicas tardías de Begastri", *Antigüedades Cristianas* I, pp. 117-130. [2^a ed. 1994].
- RIÑONES CARRANZA, A. (1987a): "Excavación de Urgencia en el yacimiento romano de La Huerta del Ciprés (Antequera, Málaga)", *Anuario Arqueológico de Andalucía 1985*. Tomo III. *Actividades de Urgencia*, Junta de Andalucía, Sevilla, pp. 257-260.
- RIÑONES CARRANZA, A. (1987b): "Intervención de Urgencia en el Niféo romano de Carnicería de los Moros." *Anuario Arqueológico de Andalucía 1985*. Tomo III. *Actividades de Urgencia*, Junta de Andalucía, Sevilla, pp. 251-256.
- ROCA ROUMENS, M. (2005): "Terra Sigillata Sudgálica", *Introducción al Estudio de la Cerámica Romana. Una Breve Guía de Referencia*, (Roca Roumens M. y Fernández García M. I. eds.), Málaga, Universidad de Málaga, pp. 115-137.
- ROCA ROUMENS, M. y FERNÁNDEZ GARCÍA, M. I. (1999): "Tipología", *Terra Sigillata Hispánica. Centros de Fabricación y Producciones Altoimperiales*, (Roca Roumens, M. y Fernández García, M. I. eds.), Málaga, Universidades de Jaén y Málaga, pp. 269-283.
- RODRÍGUEZ CUENCA, J. V. (2003): *Dientes y Diversidad humana. Avances de la Antropología Dental*. Bogotá DC-Colombia.
- RODRÍGUEZ OLIVA, P. y SERRANO RAMOS, E. (1974): "Arqueología romana malagueña: Antequera", *Jábega* 8, pp. 69-72.
- ROMERO PÉREZ, M. (1994): "La necrópolis romana de Las Maravillas (Bobadilla, Málaga)", *Mainake. Estudios de Arqueología Malagueña* 15-16, pp. 195-222.
- ROMERO PÉREZ, M. (1995): "Sondeo arqueológico de urgencia en la villa romana de El Batán (Antequera, Málaga)", *Anuario Arqueológico de Andalucía 1992*, Tomo III, Junta de Andalucía, Sevilla, pp. 498-503.
- ROMERO PÉREZ, M. (1997): "La necrópolis romana de Las Maravillas (Bobadilla, Málaga)", *Anuario Arqueológico de Andalucía 1993*, Tomo III, Junta de Andalucía, Sevilla, pp. 485-496.
- ROMERO PÉREZ, M. (1998): "Algunas reflexiones sobre la producción de aceite en las villae de la comarca de Antequera", *Mainake. Estudios de Arqueología Malagueña* 19-20, 115-142.
- ROMERO PÉREZ, M. (1999): "Resultado de la primera intervención en la villa romana de la Estación de Antequera (Málaga)", *Jábega* 80, pp. 3-14.
- ROMERO PÉREZ, M. y MELERO GARCÍA, F. (2001): "La villa romana de La Estación (Antequera, Málaga)", *Revista de Estudios Antequeranos* 12, pp. 235-258.
- ROMERO PÉREZ, M., CISNEROS GARCÍA, M., ESPINAR CAPP, A. M., FERNÁNDEZ RODRÍGUEZ, L. E. y MELERO GARCÍA, F. (2014): "Villas romanas en la depresión de Antequera: novedades desde la arqueología preventiva.", *Romula* 12-13, pp. 221-282.
- ROVIRA LLORÉNS, S. (1990): "La fíbula de tipo Avcissa: análisis tecnológico de algunos ejemplares hispánicos", *Cuadernos de Prehistoria y Arqueología de la Universidad Autónoma de Madrid* 17, pp. 137-141.
- SÁNCHEZ TRUJILLANO, M. T. y GÓMEZ MARTÍNEZ, J. R. (1995): *Rebaños. Ganadería tradicional a través de la colección del Museo de La Rioja*. Trabajos del Museo de La Rioja 12. Museo de La Rioja. Logroño.
- SERRANO RAMOS, E. (1983): "Excavaciones arqueológicas en el Cortijo de El Castellón (Antequera, Málaga). Primera Campaña, 1985", *Anuario Arqueológico de Andalucía 1985*, Junta de Andalucía, Sevilla, pp. 412-416.
- SERRANO RAMOS, E. (2001): "Informe sobre la tercera campaña de excavaciones arqueológicas en el Cortijo de El Castellón (Antequera, Málaga)", *Anuario Arqueológico de Andalucía 1997*, Tomo II, Junta de Andalucía, Sevilla, pp. 342-345.
- SERRANO RAMOS, E. y ATENCIA PÁEZ, R. (1997): "El taller antikariense de terra sigillata hispánica", *Figlinae Malacitanae. La Producción de Cerámica Romana en los Territorios Malacitanos*, pp. 177-215.

- SERRANO RAMOS, E., ATENCIA PÁEZ, R. y RODRÍGUEZ OLIVA, P. (1992): "Novedades epigráficas de Singilia Barba (Antequera, Málaga)", *Mainake* 13-14, pp. 171-203.
- SHAHACK-GROSS, R., BAR-YOSEF, O. y WEINER, S. (1997): "Black-coloured bones in Hayonim Cave, Israel: Differentiating between burning and oxide staining", *Journal of Archaeological Science* 24, pp. 439-446.
- STEVENSON, F. J. (1969): "Pedohumus: Accumulation and diagenesis during the Quaternary", *Soil Science* 107 (6), pp. 470-479.
- TRANCHO GAYO G. J. y ROBLEDO SANZ B. (2001): "Patología oral: hipoplasia del esmalte dentario", *Sistematización Metodológica en Paleopatología*, pp. 268-277.
- VÁZQUEZ PAZ, J. (2009): "La cerámica de mesa en la Antigüedad Tardía de Hispalis: una aportación al estudio de la Terra Sigillata Hispánica Tardía Meridional", *Tendencias y Aplicaciones en la Investigación Arqueológica. Encuentros de Jóvenes Investigadores 2006-2007*, Universidad de Sevilla, Sevilla, pp. 221-231.
- VÁZQUEZ PAZ, J. y GARCÍA VARGAS, E. (2014): "La Terra Sigillata Hispánica tardía meridional (TSHTM): Últimas producciones Béticas de imitación para la mesa", *Comer a la Moda. Imitaciones de Vajillas de Mesa en Turdetania y la Bética Occidental Durante la Antigüedad (s. VI a. C.-VI d. C.)*. Col-lecció INSTRUMENTA 46, Barcelona, Universidad de Barcelona, pp. 333-351.
- VEGBY, M. (2015) "Enduring past: megalithic tombs of Brittany and the Roman occupation in Western France", *The Lives of Prehistoric Monuments in Iron Age, Roman and Medieval Europe*, (Díaz-Guardamino Uribe, M., García Sanjuán, L. y Wheatley, D. W. eds.), Oxford University Press, Oxford, pp. 163-182.
- VON DEN DRIESCH, A. (1976): *A Guide to the Measurement of Animal Bones from Archaeological Sites*. Cambridge (Massachusetts), Harvard University.
- WALKER P. L., DEAN G. y SHAPIRO P. (1991): "Estimating age from tooth wear in archaeological populations", *Advances in Dental Anthropology*, (Kelley, M. A. y Larsen, C. S. eds.), Chichester, Wiley-Liss, pp. 13-31.
- WILLIAMS, H. (1998): "The ancient monument in Romano-British ritual practices", *TRAC97. Proceedings of the 7th Annual Theoretical Roman Archaeology Conference*, Oxford, pp. 71-86.
- YRAVEDRA SAINZ DE LOS TERREROS J. (2006): *Tafonomía Aplicada a Zooarqueología*. Editorial Aula Abierta, UNED, Madrid.

ANEXO. INVENTARIO DE MATERIALES ARQUEOLÓGICOS DE LA INTERVENCIÓN REALIZADA EN 1988 EN EL ENTORNO DEL DOLMEN DE VIERA

CÓDIGO	CATA	CAVA	Nº INVENTARIO	MATERIAL	SERIE	FORMA	TIPO	CRONOLOGÍA	FRAGMENTO	FUNCIONALIDAD
A/DJ14470/20	01	4	1	Cerámica	Mano	Vaso globular		Prehistoria	Borde	Almacenamiento
A/DJ14470/20	01	4	2	Metal	Escoria	Escoria	Metálica	Indeterminada	Completa	Desecho
A/DJ14470/20	01	4	3	Metal	Escoria	Escoria	Metálica	Indeterminada	Completa	Desecho
A/DJ14470/16	02	1	1	Cerámica	Común	Jarra		Romana	Borde	Doméstico
A/DJ14470/16	02	1	2	Cerámica	Común	Lebrillo		Romana	Borde	Cocina
A/DJ14470/17	04	2	1	Cerámica	Constructivo	Laterculus	Rectangular	Romana	Completa	Arquitectónica
A/DJ14470/17	04	2	2	Cerámica	Constructivo	Laterculus	Rectangular	Romana	Semicompleta	Arquitectónica
A/DJ14470/17	04	2	3	Cerámica	Común	Jarra		Romana	Asa	Doméstico
A/DJ14470/17	04	2	4	Cerámica	Común	Jarra		Romana	Borde	Doméstico
A/DJ14470/17	04	2	5	Metal	Metal	"Tubo"	Metálica	Contemporánea	Tapón	¿Farmacológica?
A/DJ14470/18	06	1	1	Cerámica	Constructivo	Laterculus	Rectangular	Romana	Completa	Arquitectónica
A/DJ14470/18	06	1	2	Cerámica	Vidriada	Plato		Contemporánea	Borde	Mesa
A/DJ14470/18	06	1	3	Cerámica	Vidriada	Plato		Contemporánea	Borde	Mesa
A/DJ14470/18	06	1	4	Cerámica	Vidriada	Indefinida		Contemporánea	Galbo	Cocina
A/DJ14470/18	06	1	5	Cerámica	Común	Jarra		Contemporánea	Borde	Almacenamiento
A/DJ14470/18	06	1	6	Cerámica	TSG	Cuenco	Drag. 37	I-II DNE	Galbo	Mesa
A/DJ14470/18	06	1	7	Cerámica	TSG	Plato		I DNE	Fondo	Mesa
A/DJ14470/12	01	2	1	Cerámica	Común	Lebrillo		Romana	Borde	Cocina
A/DJ14470/12	01	2	2	Cerámica	Tosca	Olla		Romana	Borde	Cocina
A/DJ14470/19	03	3	1	Cerámica	Común	Jarra		Romana	Borde	Doméstico
A/DJ14470/06	04	2	1	Cerámica	Constructivo	Laterculus	Rectangular	Romana	Completa	Arquitectónica
A/DJ14470/06	04	2	2	Cerámica	Constructivo	Laterculus	Rectangular	Romana	Completa	Arquitectónica
A/DJ14470/06	04	2	3	Cerámica	Constructivo	Laterculus	Rectangular	Romana	Completa	Arquitectónica
A/DJ14470/06	04	2	4	Cerámica	Constructivo	Laterculus	Rectangular	Romana	Semicompleta	Arquitectónica
A/DJ14470/06	04	2	5	Cerámica	Constructivo	Laterculus	Rectangular	Romana	Semicompleta	Arquitectónica
A/DJ14470/06	04	2	6	Cerámica	Común	Jarra		Romana	Borde	Doméstico
A/DJ14470/06	04	2	7	Cerámica	Común	Cuenco		Romana	Borde	Doméstico
A/DJ14470/06	04	2	8	Cerámica	tosca	Olla		Romana	Borde	Cocina
A/DJ14470/06	04	2	9	Cerámica	Común	Orza		Romana	Borde	Cocina
A/DJ14470/06	04	2	10	Cerámica	Común	Orza		Romana	Borde	Cocina
A/DJ14470/06	04	2	11	Cerámica	Común	Plato		Romana	Borde	Mesa
A/DJ14470/06	04	2	12	Cerámica	Común	Indefinida		Romana	Galbo	Mesa
A/DJ14470/06	04	2	13	Cerámica	ARS D	Plato		IV-VI DNE	Fondo	Mesa
A/DJ14470/06	04	2	14	Cerámica	Común	Indefinida		Romana	Fondo	Indefinida
A/DJ14470/06	04	2	15	Óseo	Fauna	Diente		Indeterminado	Completa	Indeterminado
A/DJ14470/07	03	Interior pileta	1	Cerámica	Común	Jarro		Romana	Borde	Mesa
A/DJ14470/07	03	Interior pileta	2	Cerámica	Tosca	Olla		Romana	Borde	Cocina
A/DJ14470/07	03	Interior pileta	3	Cerámica	Tosca	Olla		Romana	Borde	Cocina
A/DJ14470/07	03	Interior pileta	4	Cerámica	Tosca	Olla		Romana	Borde	Cocina
A/DJ14470/07	03	Interior pileta	5	Cerámica	ARS D	Cuenco	Hayes 91a	V-VI DNE	Borde	Mesa
A/DJ14470/07	03	Interior pileta	6	Cerámica	ARS D	Plato	Estilo A	IV-V DNE	Fondo	Mesa
A/DJ14470/08	04	2	1	Cerámica	Constructivo	Laterculus	Rectangular	Romana	Completa	Arquitectónica
A/DJ14470/08	04	2	2	Cerámica	Constructivo	Laterculus	Rectangular	Romana	Completa	Arquitectónica
A/DJ14470/08	04	2	3	Cerámica	Constructivo	Laterculus	Rectangular	Romana	Completa	Arquitectónica
A/DJ14470/08	04	2	4	Cerámica	Constructivo	Laterculus	Rectangular	Romana	Completa	Arquitectónica
A/DJ14470/08	04	2	5	Cerámica	Constructivo	Laterculus	Rectangular	Romana	Completa	Arquitectónica

CÓDIGO	CATA	CAVA	Nº INVENTARIO	MATERIAL	SERIE	FORMA	TIPO	CRONOLOGÍA	FRAGMENTO	FUNCIONALIDAD
A/DJ14470/08	04	2	6	Cerámica	Constructivo	Laterculus	Rectangular	Romana	Completa	Arquitectónica
A/DJ14470/08	04	2	7	Cerámica	Constructivo	Laterculus	Rectangular	Romana	Semicompleta	Arquitectónica
A/DJ14470/08	04	2	8	Cerámica	Pintada	Plato		Prerromana	Borde	Mesa
A/DJ14470/08	04	2	9	Cerámica	Común	Plato		Prerromana	Borde	Mesa
A/DJ14470/08	04	2	10	Cerámica	Común	Cuenco		Prerromana	Borde	Mesa
A/DJ14470/08	04	2	11	Cerámica	Común	Plato		Prerromana	Borde	Mesa
A/DJ14470/08	04	2	12	Cerámica	Común	Plato		Prerromana	Borde	Mesa
A/DJ14470/08	04	2	13	Cerámica	Común	Orza		Romana	Borde	Cocina
A/DJ14470/08	04	2	14	Cerámica	Tosca	Olla		Romana	Borde	Cocina
A/DJ14470/08	04	2	15	Cerámica	Tosca	Olla		Romana	Borde	Cocina
A/DJ14470/08	04	2	16	Cerámica	Común	Tapadera		Romana	Borde	Mesa
A/DJ14470/08	04	2	17	Cerámica	TSG	Plato		I DNE	Fondo	Mesa
A/DJ14470/09	06	3	1	Cerámica	Común	Jarro/a		Romana	Indefinido	Mesa
A/DJ14470/09	06	3	2	Cerámica	ARS D	Indefinida		IV-VI DNE	Borde	Mesa
A/DJ14470/09	06	3	3	Cerámica	ARS D	Indefinida		IV-VI DNE	Borde	Mesa
A/DJ14470/09	06	3	4	Vidrio	Vidrio	Indefinida		Romana	Borde	Doméstico
A/DJ14470/10	03	1	1	Cerámica	Común	Jarro/a		Romana	Borde	Mesa
A/DJ14470/10	03	1	2	Cerámica	Común	Olla		Romana	Borde	Cocina
A/DJ14470/10	03	1	3	Cerámica	Común	Plato		¿Prerromana?	Borde	Cocina
A/DJ14470/10	03	1	4	Cerámica	TSHTM	Cuenco	Orfila 1	V-VI DNE	Borde	Mesa
A/DJ14470/11	04	2	1	Cerámica	Común	Ánfora		Prerromana	Borde	Transporte
A/DJ14470/11	04	2	2	Cerámica	Común	Cuenco	Borde entrante	Prerromana	Borde	Mesa
A/DJ14470/11	04	2	3	Cerámica	Común	Cuenco		Prerromana	Borde	Mesa
A/DJ14470/11	04	2	4	Cerámica	Común	Lebrillo		Prerromana	Borde	Cocina
A/DJ14470/11	04	2	5	Cerámica	Común	Urna		Prerromana	Borde	Doméstico
A/DJ14470/11	04	2	6	Cerámica	Común	Tapadera		Romana	Borde	Cocina
A/DJ14470/11	04	2	7	Cerámica	Común	Orza		Romana	Borde	Cocina
A/DJ14470/11	04	2	8	Cerámica	ARS D	Plato	Hayes 61A	IV-V DNE	Borde	Mesa
A/DJ14470/11	04	2	9	Cerámica	ARS D	Plato	Hayes 104a	VI DNE	Borde	Mesa
A/DJ14470/11	04	2	10	Cerámica	TSHTM	Plato	Orfila 9	V-VI DNE	Borde	Mesa
A/DJ14470/12	01	2	3	Cerámica	Común	Tapadera		Romana	Borde	Almacenamiento
A/DJ14470/12	01	2	4	Cerámica	Común	Olla		Romana	Borde	Cocina
A/DJ14470/13	08	1	1	Cerámica	Tosca	Olla		Romana	Borde	Cocina
A/DJ14470/13	08	1	2	Cerámica	Tosca	Olla		Romana	Borde	Cocina
A/DJ14470/13	08	1	3	Cerámica	ARS D	Plato	Hayes 67	IV-V DNE	Borde	Mesa
A/DJ14470/14	07	3	1	Cerámica	Común	Lebrillo		Indeterminada	Borde	Cocina
A/DJ14470/14	07	3	2	Cerámica	Común	Lebrillo		Indeterminada	Borde	Cocina
A/DJ14470/14	07	3	3	Cerámica	Común	Tapadera		Indeterminada	Borde	Cocina
A/DJ14470/14	07	3	4	Cerámica	ARS D	Plato	Estilo indeterminado	IV-V DNE	Fondo	Mesa
A/DJ14470/15	03	2	1	Cerámica	Común	Jarro/a		Romana	Borde	Mesa
A/DJ14470/15	03	2	2	Cerámica	Tosca	Olla		Romana	Borde	Cocina
A/DJ14470/15	03	2	3	Cerámica	Común	Indefinida		Romana	Borde	Doméstico
A/DJ14470/15	03	2	4	Cerámica	TSG	Copa		I DNE	Fondo	Mesa
A/DJ14470/34	03	3-4 Testigo	1	Cerámica	Común	Plato		Romana	Borde	Mesa
A/DJ14470/34	03	3-4 Testigo	2	Cerámica	Común	Plato		Romana	Borde	Mesa
A/DJ14470/34	03	3-4 Testigo	3	Cerámica	Común	¿Jarra/Urna?		Romana	Borde	Almacenamiento
A/DJ14470/34	03	3-4 Testigo	4	Cerámica	Común	Olla		Romana	Borde	Cocina
A/DJ14470/34	03	3-4 Testigo	5	Cerámica	¿Mano?	Plato		Prerromana	Borde	Doméstico

CÓDIGO	CATA	CAVA	Nº INVENTARIO	MATERIAL	SERIE	FORMA	TIPO	CRONOLOGÍA	FRAGMENTO	FUNCIONALIDAD
A/DJ14470/34	03	3-4 Testigo	6	Metal	Metal	Pinzas	Base cobre	¿Romana?	Completa	Doméstico
A/DJ14470/34	03	3-4 Testigo	7	Metal	Metal	Indefinido	Hierro	Indeterminada	Vástago	Indefinida
A/DJ14470/31	03	Testigo	1	Cerámica	Común	Jarro trilobulado		Moderno / Contemporáneo	Borde	Mesa
A/DJ14470/31	03	Testigo	2	Cerámica	Vidriada	Lebrillo		Moderno / Contemporáneo	Borde	Cocina
A/DJ14470/31	03	Testigo	3	Cerámica	Común	Indefinida		Moderno / Contemporáneo	Borde	Doméstico
A/DJ14470/31	03	Testigo	4	Cerámica	Común	Lebrillo		Moderno / Contemporáneo	Borde	Cocina
A/DJ14470/30	08	Ampliación	1	Lítico	Lítico	Indefinido		Prerromana	Semicompleta	Indefinida
A/DJ14470/32	Sin referencia	¿... oscuro?	1	Cerámica	Vidriada	Lebrillo		Moderna / Contemporánea	Borde	Cocina
A/DJ14470/32	Sin referencia	¿... oscuro?	2	Cerámica	Común	¿Lebrillo?		Moderna / Contemporánea	Borde	Cocina
A/DJ14470/32	Sin referencia	¿... oscuro?	3	Cerámica	Común	Indefinida		Indeterminada	Borde	Cocina
A/DJ14470/32	Sin referencia	¿... oscuro?	4	Cerámica	Común	Cántara		Contemporánea	Fondo	Almacenamiento
A/DJ14470/32	Sin referencia	¿... oscuro?	5	Cerámica	Común	Indefinida		Romana	Fondo	Indefinida
A/DJ14470/32	Sin referencia	¿... oscuro?	6	Cerámica	ARS D	Indefinida		IV-VI DNE	Fondo	Mesa
A/DJ14470/33	10	Sin referencia	1	Cerámica	Común	Cántara		¿Moderna / Contemporánea?	Borde	Almacenamiento
A/DJ14470/33	10	Sin referencia	2	Lítico	Lítico	¿Hacha?		Prerromana	Semicompleta	Indefinida
A/DJ14470/29	03	Interior pileta	1	Cerámica	Común	Indefinida		Romana	Borde	Almacenamiento
A/DJ14470/29	03	Interior pileta	2	Cerámica	Común	Orza		Romana	Borde	Doméstico
A/DJ14470/26	07	Testigo carretera	1	Cerámica	Mano	Cazuela		Prerromana	Borde	Mesa
A/DJ14470/26	07	Testigo carretera	2	Cerámica	Común	Jarra		Moderna / Contemporánea	Borde	Mesa
A/DJ14470/26	07	Testigo carretera	3	Cerámica	Común	Jarra		Moderna / Contemporánea	Borde	Mesa
A/DJ14470/26	07	Testigo carretera	4	Cerámica	Vidriada	Indefinida		Moderna / Contemporánea	Fondo	Mesa
A/DJ14470/25	06	Testigo carretera	1	Cerámica	Vidriada	Indefinida		Moderna / Contemporánea	Borde	Mesa
A/DJ14470/25	06	Testigo carretera	2	Cerámica	Vidriada	Cántara		Moderna / Contemporánea	Galbo	Almacenamiento
A/DJ14470/25	06	Testigo carretera	3	Cerámica	Común	Indefinida		Indeterminada	Borde	Indefinida
A/DJ14470/25	06	Testigo carretera	4	Cerámica	ARS D	Cuenco	¿Hayes 91?	IV-VI DNE	Galbo	Mesa
A/DJ14470/25	06	Testigo carretera	5	Cerámica	ARS D	Plato	Estilo AI-III	IV-V DNE	Fondo	Mesa
A/DJ14470/24	08	1	1	Cerámica	Mano	Indefinida		Prerromana	Galbo	Doméstico
A/DJ14470/24	08	1	2	Lítico	Lítico	Lámina		Prerromana	Semicompleta	Doméstico
A/DJ14470/22	Sin referencia	Sin referencia	1	Cerámica	Tosca	Olla		Romana	Borde	Cocina
A/DJ14470/22	Sin referencia	Sin referencia	2	Cerámica	Común	Olla		Romana	Borde	Cocina
A/DJ14470/22	Sin referencia	Sin referencia	3	Cerámica	Común	Jarra		Indeterminada	Fondo	Almacenamiento
A/DJ14470/21	03	Interior pileta	1	Cerámica	Constructivo	Laterculus	Rectangular	Romana	Completa	Arquitectónica
A/DJ14470/21	03	Interior pileta	2	Cerámica	Constructivo	Laterculus	Rectangular	Romana	Completa	Arquitectónica
A/DJ14470/21	03	Interior pileta	3	Cerámica	Constructivo	Laterculus	Rectangular	Romana	Completa	Arquitectónica
A/DJ14470/21	03	Interior pileta	4	Cerámica	Constructivo	Laterculus	Rectangular	Romana	Completa	Arquitectónica

CÓDIGO	CATA	CAVA	Nº INVENTARIO	MATERIAL	SERIE	FORMA	TIPO	CRONOLOGÍA	FRAGMENTO	FUNCIONALIDAD
A/DJ14470/21	03	Interior pileta	5	Cerámica	Común	Indefinida		Romana	Galbo	Indefinida
A/DJ14470/21	03	Interior pileta	6	Cerámica	Común	Plato		Romana	Borde	Mesa
A/DJ14470/21	03	Interior pileta	7	Cerámica	Común	Olla		Romana	Borde	Cocina
A/DJ14470/21	03	Interior pileta	8	Cerámica	Común	Indefinida		Romana	Galbo	Indefinida
A/DJ14470/21	03	Interior pileta	9	Cerámica	Común	Jarra		Romana	Galbo	Almacenamiento
A/DJ14470/21	03	Interior pileta	10	Cerámica	Común	Indefinida		Romana	Galbo	Almacenamiento
A/DJ14470/21	03	Interior pileta	11	Cerámica	Común	Jarra		Romana	Galbo	Almacenamiento
A/DJ14470/21	03	Interior pileta	12	Cerámica	Común	Jarra		Romana	Galbo	Almacenamiento
A/DJ14470/21	03	Interior pileta	13	Cerámica	Común	Indefinida		Romana	Galbo	Indefinida
A/DJ14470/21	03	Interior pileta	14	Cerámica	Tosca	Olla		Romana	Galbo	Cocina
A/DJ14470/21	03	Interior pileta	15	Cerámica	Tosca	Olla		Romana	Galbo	Cocina
A/DJ14470/21	03	Interior pileta	16	Cerámica	Común	Indefinida		Romana	Galbo	Cocina
A/DJ14470/21	03	Interior pileta	17	Cerámica	Común	Indefinida		Romana	Galbo	Cocina
A/DJ14470/21	03	Interior pileta	18	Óseo	Fauna	Hueso		Indeterminado	Semicompleta	Indeterminado
A/DJ14470/21	03	Interior pileta	19	Metal	Escoria	Escoria	Metálica	Indeterminada	Completa	Desecho
A/DJ14470/21	03	Interior pileta	20	Metal	Escoria	Escoria	Metálica	Indeterminada	Completa	Desecho
A/DJ14470/28	09	2	1	Cerámica	Común	Cuenco		Romana	Borde	Doméstico
A/DJ14470/28	09	2	2	Cerámica	Común	Mortero		Romana	Borde	Cocina
A/DJ14470/28	09	2	3	Cerámica	Engobada	Indefinida		¿Romana?	Galbo	Doméstico
A/DJ14470/28	09	2	4	Cerámica	TSH	Cuenco		I DNE	Galbo	Mesa
A/DJ14470/28	09	2	5	Cerámica	TSG	Indefinida		I DNE	Pitorro	Mesa
A/DJ14470/23	08	Prolongación	1	Cerámica	Común	Jarra		Romana	Borde	Doméstico
A/DJ14470/23	08	Prolongación	2	Cerámica	¿ARS D?	¿Plato?		¿IV-VI DNE?	Galbo	¿Mesa?
A/DJ14470/41	03	2	1	Cerámica	Común	Orza		Romana	Borde	Cocina
A/DJ14470/41	03	2	2	Cerámica	ARS D	Plato		Romana	Galbo	Mesa
A/DJ14470/41	03	2	3	Metal	Metal	Cascabel	Base cobre	Romana	Completa	Indefinida
A/DJ14470/41	03	2	4	Metal	Metal	Lámina decorada	Base cobre	Indeterminada	Completa	Indefinida
A/DJ14470/40	05	Sin referencia	1	Cerámica	Vidriada	Indefinida		Moderna / Contemporánea	Galbo	Indefinida
A/DJ14470/40	05	Sin referencia	2	Cerámica	Vidriada	Indefinida		Moderna / Contemporánea	Galbo	Mesa
A/DJ14470/38	01	2	1	Cerámica	Mano	Vaso		Prerromana	Borde	Doméstico
A/DJ14470/38	01	2	2	Cerámica	Mano	Indefinida		Prerromana	Galbo	Doméstico
A/DJ14470/38	01	2	3	Cerámica	Mano	Indefinida		Prerromana	Galbo	Doméstico
A/DJ14470/38	01	2	4	Cerámica	Común	Indefinida		Indeterminada	Galbo	Indefinida
A/DJ14470/38	01	2	5	Cerámica	ARS D	Indefinida	Muy rodada	Romana	Galbo	Mesa
A/DJ14470/38	01	2	6	Cerámica	ARS D	Plato	Muy rodada	Romana	Galbo	Mesa
A/DJ14470/38	01	2	7	Metal	Metal	Gancho	Hierro	Indeterminada	Completa	Indefinida
A/DJ14470/39	04	2	1	Cerámica	Común	Jarra		Indeterminada	Fondo	Doméstico
A/DJ14470/39	04	2	2	Cerámica	Común	Jarra		Romana	Fondo	Doméstico
A/DJ14470/36	Sin referencia	Sin referencia	1	Cerámica	Constructivo	Laterculus	Rectangular	Romana	Completa	Arquitectónica
A/DJ14470/36	Sin referencia	Sin referencia	2	Cerámica	Constructivo	Laterculus	Rectangular	Romana	Completa	Arquitectónica
A/DJ14470/36	Sin referencia	Sin referencia	3	Cerámica	Constructivo	Laterculus	Rectangular	Romana	Completa	Arquitectónica
A/DJ14470/36	Sin referencia	Sin referencia	4	Cerámica	Constructivo	Laterculus	Rectangular	Romana	Completa	Arquitectónica
A/DJ14470/36	Sin referencia	Sin referencia	5	Cerámica	Constructivo	Laterculus	Rectangular	Romana	Completa	Arquitectónica

CÓDIGO	CATA	CAVA	Nº INVENTARIO	MATERIAL	SERIE	FORMA	TIPO	CRONOLOGÍA	FRAGMENTO	FUNCIONALIDAD
A/DJ14470/36	Sin referencia	Sin referencia	6	Cerámica	Constructivo	Laterculus	Rectangular	Romana	Completa	Arquitectónica
A/DJ14470/36	Sin referencia	Sin referencia	7	Cerámica	Constructivo	Laterculus	Rectangular	Romana	Completa	Arquitectónica
A/DJ14470/36	Sin referencia	Sin referencia	8	Cerámica	Constructivo	Laterculus	Rectangular	Romana	Completa	Arquitectónica
A/DJ14470/36	Sin referencia	Sin referencia	9	Cerámica	Constructivo	Laterculus	Rectangular	Romana	Completa	Arquitectónica
A/DJ14470/36	Sin referencia	Sin referencia	10	Cerámica	Constructivo	Laterculus	Rectangular	Romana	Completa	Arquitectónica
A/DJ14470/36	Sin referencia	Sin referencia	11	Cerámica	Común	Jarra		Romana	Asa	Doméstico
A/DJ14470/36	Sin referencia	Sin referencia	12	Cerámica	Común	Ánfora		Romana	Galbo	Transporte
A/DJ14470/37	07	3	1	Cerámica	Común	Jarra		Romana	Borde	Mesa
A/DJ14470/37	07	3	2	Cerámica	ARS D	¿Cuenco?	¿Hayes 91?	Romana	Galbo	Mesa
A/DJ14470/35	04	2	1	Cerámica	Constructivo	Laterculus	Rectangular	Romana	Completa	Arquitectónica
A/DJ14470/35	04	2	2	Cerámica	Común	Indefinida		Indeterminada	Asa	Almacenamiento
A/DJ14470/35	04	2	3	Cerámica	Vidriada	Jarra		Moderna / Contemporánea	Asa	Mesa
A/DJ14470/35	04	2	5	Cerámica	ARS C5	Cuenco	Hayes 73	V DNE	Borde	Mesa
A/DJ14470/35	04	2	4	Cerámica	Común	Jarra		Indeterminada	Borde	Doméstico
A/DJ14470/35	04	2	6	Cerámica	Paredes finas	Vaso		Romana	Borde	Mesa
A/DJ14470/35	04	2	7	Cerámica	Común	Esfera/bola		Moderna / Contemporánea	Completa	Indefinido
A/DJ14470/56	07	1	1	Cerámica	Vidriada	Lebrillo		Moderna	Borde	Cocina
A/DJ14470/56	07	1	2	Cerámica	Vidriada	Lebrillo		Moderna	Borde	Cocina
A/DJ14470/56	07	1	3	Cerámica	Común	¿Tapadera?		Moderna	Borde	Doméstico
A/DJ14470/56	07	1	4	Cerámica	Común	Indefinida		Indeterminada	Galbo	Indefinida
A/DJ14470/55	02	3	1	Cerámica	Común	Indefinida		Romana	Borde	Indefinida
A/DJ14470/55	02	3	2	Cerámica	TSHTM	Cuenco	Orfila 1	Romana	Borde	Mesa
A/DJ14470/54	03	1	1	Cerámica	Común	Jarra		¿Romana?	Borde	Mesa
A/DJ14470/54	03	1	2	Cerámica	TSG	Indefinida		I DNE	Fondo	Mesa
A/DJ14470/49	01	Sobre muro limpieza	1	Cerámica	Común	Indefinida		Romana	Fondo	Doméstico
A/DJ14470/49	01	Sobre muro limpieza	2	Lítico	Lítico	Placa	Mármol	Romana	Galbo	Arquitectónica
A/DJ14470/48	01	2	1	Cerámica	Constructivo	Laterculus	Rectangular	Romana	Completa	Arquitectónica
A/DJ14470/48	01	2	2	Cerámica	Común	Olla		Indeterminada	Galbo	Cocina
A/DJ14470/48	01	2	3	Cerámica	ARS D	Plato	Hayes 61A	IV-V DNE	Borde	Mesa
A/DJ14470/48	01	2	4	Metal	Escoria	Escoria	Metálica	Indeterminada	Completa	Desecho
A/DJ14470/48	01	2	5	Metal	Escoria	Escoria	Metálica	Indeterminada	Completa	Desecho
A/DJ14470/48	01	2	6	Metal	Escoria	Escoria	Metálica	Indeterminada	Completa	Desecho
A/DJ14470/53	05	2	1	Cerámica	Común	Jarra		Indeterminada	Borde	Mesa
A/DJ14470/53	05	2	2	Cerámica	Común	Orza		Romana	Borde	Cocina
A/DJ14470/53	05	2	3	Cerámica	Común	Plato		Romana	Borde	Mesa
A/DJ14470/53	05	2	4	Cerámica	ARS D	Plato	Hayes 59	IV-V DNE	Galbo	Mesa
A/DJ14470/50	Sin referencia	Ampliación hacia la carretera	1	Cerámica	Común	Lebrillo		Moderna / Contemporánea	Borde	Cocina
A/DJ14470/50	Sin referencia	Ampliación hacia la carretera	2	Cerámica	Común	Tapadera		Moderna / Contemporánea	Borde	Cocina
A/DJ14470/50	Sin referencia	Ampliación hacia la carretera	3	Cerámica	Común	Orza		Moderna / Contemporánea	Borde	Cocina
A/DJ14470/52	06	3	1	Cerámica	Vidriada	Olla		Moderna	Borde	Cocina

CÓDIGO	CATA	CAVA	Nº INVENTARIO	MATERIAL	SERIE	FORMA	TIPO	CRONOLOGÍA	FRAGMENTO	FUNCIONALIDAD
A/DJ14470/52	06	3	2	Cerámica	Común	Indefinida		Indeterminada	Borde	Cocina
A/DJ14470/52	06	3	3	Cerámica	Común	Jarra		Indeterminada	Borde	Cocina
A/DJ14470/52	06	3	4	Cerámica	ARS D	Indefinida	Muy rodada	IV-VI DNE	Galbo	Mesa
A/DJ14470/52	06	3	5	Cerámica	ARS D	Indefinida	Muy rodada	IV-VI DNE	Galbo	Mesa
A/DJ14470/47	08	1	1	Cerámica	Común	Indefinida		Indeterminada	Borde	Indefinida
A/DJ14470/47	08	1	2	Cerámica	Común	Indefinida		Indeterminada	Fondo	Indefinida
A/DJ14470/47	08	1	3	Metal	Metal	Herradura	Hierro	Contemporánea	Semicompleta	Ecuestre
A/DJ14470/47	08	1	4	Metal	Metal	Herradura	Hierro	Contemporánea	Semicompleta	Ecuestre
A/DJ14470/47	08	1	5	Metal	Metal	Tapa	Metal	Contemporánea	Completa	Indefinida
A/DJ14470/44	02	1	1	Cerámica	Común	Jarro/a		Moderna / Contemporánea	Borde	Mesa
A/DJ14470/44	02	1	2	Cerámica	Común	Indefinida		Moderna / Contemporánea	Borde	Indefinida
A/DJ14470/44	02	1	3	Cerámica	Común	Indefinida		Moderna / Contemporánea	Borde	Indefinida
A/DJ14470/44	02	1	4	Metal	Metal	Bisagra	Hierro	Moderna / Contemporánea	Completa	Arquitectónica
A/DJ14470/42	04	2	1	Cerámica	Común	Dolium		Romana	Asa	Almacenamiento
A/DJ14470/46	06	2	1	Cerámica	Constructivo	Laterculus	Rectangular	Romana	Completa	Arquitectónica
A/DJ14470/46	06	2	2	Cerámica	Vidriada	Plato		Moderno	Borde	Mesa
A/DJ14470/46	06	2	3	Cerámica	Común	Lebrillo		Moderno	Borde	Cocina
A/DJ14470/46	06	2	4	Cerámica	Común	Jarra		¿Moderno?	Borde	Doméstico
A/DJ14470/46	06	2	5	Cerámica	Común	Lebrillo		¿Moderno?	Borde	Cocina
A/DJ14470/46	06	2	6	Cerámica	Común	Jarra		¿Moderno?	Borde	Doméstico
A/DJ14470/46	06	2	7	Cerámica	Común	Indefinida		Indeterminada	Borde	Indefinida
A/DJ14470/46	06	2	8	Cerámica	Común	Jarra		Romana	Borde	Mesa
A/DJ14470/46	06	2	9	Cerámica	Común	Olla		Romana	Borde	Cocina
A/DJ14470/46	06	2	10	Cerámica	ARS D	Plato		IV-V DNE	Borde	Mesa
A/DJ14470/46	06	2	11	Óseo	Fauna	Hueso		Indeterminado	Esquirlas	Indeterminado
A/DJ14470/43	02	2	1	Cerámica	Común	Lebrillo		Indeterminada	Borde	Cocina
A/DJ14470/43	02	2	2	Cerámica	Común	Tapadera		Romana	Borde	Cocina
A/DJ14470/43	02	2	3	Cerámica	Común	¿Orza?		Romana	Borde	Cocina
A/DJ14470/43	02	2	4	Cerámica	Común	Cuenco		Prerromano	Borde	Mesa
A/DJ14470/43	02	2	5	Cerámica	ARS D	Plato	Hayes 61a	IV-V DNE	Borde	Mesa
A/DJ14470/43	02	2	6	Cerámica	ARS D	Indefinida		IV-VI DNE	Fondo	Mesa
A/DJ14470/43	02	2	7	Cerámica	ARS D	Indefinida		IV-VI DNE	Galbo	Mesa
A/DJ14470/45	03	2	1	Lítico	Lítico	Placa	Mármol	Romana	Galbo	Arquitectónica
A/DJ14470/51	05	3	1	Cerámica	Común	Orza		Romana	Borde	Cocina
A/DJ14470/51	05	3	2	Cerámica	Común	Indefinida		Romana	Fondo	Indefinida
A/DJ14470/51	05	3	3	Cerámica	Común	Indefinida		Indeterminada	Fondo	Indefinida
A/DJ14470/43	02	2	8	Metal	Metal	Lámina	Base cobre	Indeterminada	Fragmento	Indefinida